

บทที่ 2

ปริทรรศน์วรรณกรรม

2.1 ทฤษฎีที่เกี่ยวข้องกับงานวิจัย

2.1.1 ข้อมูลทั่วไปเกี่ยวกับโลหะไทเทเนียมและโลหะผสมไทเทเนียม [1,2]

โลหะไทเทเนียมถูกค้นพบครั้งแรกโดย William Gregor ผู้เชี่ยวชาญด้านแร่วิทยาชาวอังกฤษโดยเรียกแรกที่พบร่วมกับ "ilmenite" ซึ่งมีลักษณะเป็นทรายสีดำ ต่อมาร่วมกับ Martin Heinrich Klaproth นักเคมีชาวเยอรมันได้ทำการสกัดแร่ไทเทเนียมซึ่งอยู่ในรูปของออกไซด์รูจักรันในชื่อ "rutile" ซึ่งต่อมาได้ถูกเปลี่ยนชื่อเป็น Titanium โดยผู้เชี่ยวชาญด้านนิวยาชาก็ได้

แปรรูปให้เป็นรูปสำเร็จรูป ทำปฏิกิริยาจนเกิดเป็นสารประกอบคลอไรด์ซึ่งก็คือไทเทเนียมเตตระคลอไรด์($TiCl_4$) ต่อมามากกว่า 100 ปีต่อมา Matthew Albert Hunter ได้คิดค้นวิธีการผลิตลุงแร่ไทเทเนียมบิสุทธิ์โดยผสมไทเทเนียมเตตระคลอไรด์กับโซเดียมแล้วให้ความร้อนใน steel bomb เรียกวิธีการผลิตนี้ว่า "Hunter process" ต่อมาร่วมกับ Wilhelm Justin Kroll ได้คิดวิธีการผลิตแบบใหม่โดยนำไทเทเนียมเตตระคลอไรด์มาตีวิชด้วยแมกนีเซียมและเรียกวิธีการผลิตแบบนี้ว่า "Kroll process"

ไทเทเนียมจัดเป็นโลหะเบาซึ่งมีความหนาแน่น 4.51 g/cm^3 ซึ่งถือว่าเป็นโลหะเบาที่มีความหนาแน่นสูงสุด มีความแข็งแรงสูงและยังรักษาความแข็งแรงไว้ได้ไม่ต่ำกว่า 100 ปี หรือมากกว่า 100 ปี หรือประมาณครึ่งหนึ่งของเหล็กกล้า มีค่า modulus ของดูลัสย์ดหยุ่น (Young modulus) 120 GPa หรือประมาณครึ่งหนึ่งของเหล็กกล้า มีค่า creep strength ที่ดีในช่วงอุณหภูมิที่กว้าง โดยสมบัติทางกลและทางกายภาพของโลหะไทเทเนียมบิสุทธิ์แสดงไว้ในตารางที่ 2.1

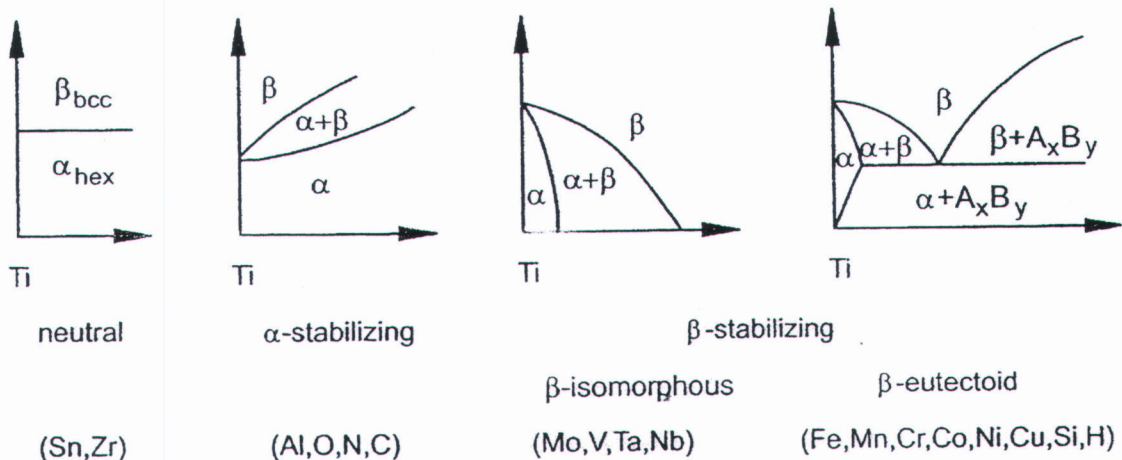
ตารางที่ 2.1 สมบัติทางกลและทางกายภาพของโลหะไทเทเนียมบริสุทธิ์ [3]

Property	Description or value
Atomic number	22
Atomic weight	47.90
Atomic volume	10.6 cm^3/mol
Covalent radius	1.32 Å
Ionization potential	6.8282 V
Thermal neutron absorption cross section	5.6 barns/atom
Crystal structure	Close-packed hexagonal Body-centered cubic
Color	Dark gray
Density	4.51 g/cm ³ (0.163 lb/in. ³)
Melting point	1668 ± 10 °C (3035 °F)
Solidus/liquidus	1725 °C (3135 °F)
Boiling point	3260 °C (5900 °F)
Specific heat (at 25 °C)	0.5223 kJ/kg · K
Thermal conductivity	11.4 W/m · K
Heat of fusion	440 kJ/kg (estimated)
Heat of vaporization	9.83 MJ/kg
Specific gravity	4.5
Hardness	70 to 74 HRB
Tensile strength	240 MPa (35 ksi) min
Young's modulus	120 GPa (17×10^6 psi)
Poisson's ratio	0.361
Coefficient of friction	
At 40 m/min (125 ft/min)	0.8
At 300 m/min (1000 ft/min)	0.68
Coefficient of linear thermal expansion	8.41 $\mu\text{m}/\text{m} \cdot \text{K}$
Electrical conductivity	3% IACS (where copper = 100% IACS)
Electrical resistivity (at 20 °C)	420 $\mu\Omega \cdot \text{m}$
Electronegativity	1.5 Pauling's
Temperature coefficient of electrical resistance	0.0026°C
Magnetic susceptibility (volume, at room temperature)	180 (± 1.7) × 10 ⁻⁶ mks

คุณลักษณะที่โดดเด่นอีกอย่างของไทเทเนียมคือมีความต้านทานการกัดกร่อนที่ดี เนื่องจากสามารถเกิดฟิล์มออกไซด์ได้เร็วเดียวกับอะลูминيوم แต่ฟิล์มออกไซด์จะไม่เสื่อมร้า แม่ oxy ในสภาวะรีดิวซ์ และไม่ทนทานต่อการกัดกร่อนของสารประกอบบาร์เลียด กรดซัลฟูริก และกรดฟอสฟอริก

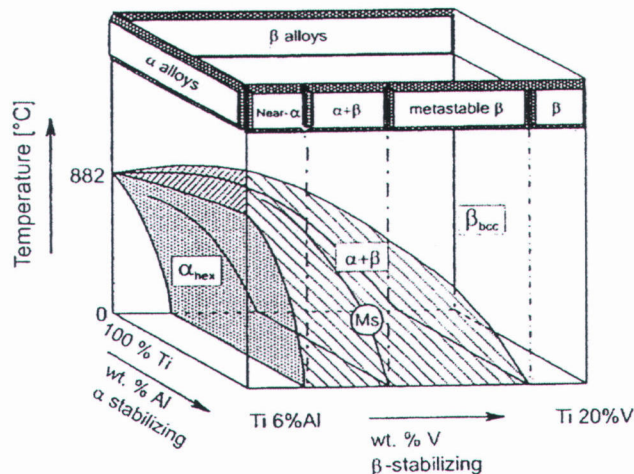
ไทเทเนียมเป็นโลหะทรายซิลิซิคซึ่งมีโครงสร้างของชั้นอิเล็กตรอนที่ไม่สมบูรณ์ทำให้ สามารถเกิดสารละลายของแข็งกับ substitutional elements ที่มีขนาดอนุภาคใกล้เคียงส่วน ใหญ่ได้ นอกจากนั้นไทเทเนียมและโลหะผสมไทเทเนียมสามารถเกิดปฏิกิริยา กับ interstitial elements ซึ่งรวมไปถึงแก๊สไฮโดรเจน ออกซิเจนและไนโตรเจน

โครงสร้างผลึกของโลหะไทเทเนียมที่อุณหภูมิต่ำกว่า 882.5 °C จะเป็น Hexagonal closed- pack (HCP) หรือแอลฟ่าไทเทเนียมและที่อุณหภูมิสูงกว่านั้นโครงสร้างจะเป็น Body-centered cubic หรือเบต้าไทเทเนียม ซึ่ง Transus temperature จะเปลี่ยนแปลงตามชนิด และปริมาณของธาตุผสม โดยธาตุผสมที่กล่าวถึงจะแบ่งเป็น 3 ประเภทได้แก่ธาตุผสมที่เติม ลงไปเพื่อเพิ่มความเสถียรรูปให้แก่โครงสร้างแอลฟ่า ได้แก่ Al, O, N, C และ Ga อีกประเภท หนึ่งคือธาตุที่ช่วยเพิ่มเสถียรรูปให้แก่โครงสร้างเบต้าซึ่งจะแบ่งเป็น 2 ประเภทอยู่คือ Isomorphous ได้แก่ธาตุ Mo, V และ Ta และ Eutectoid ได้แก่ธาตุ Fe, Mn, Cu, Cr, Co, Ni และ H และธาตุที่ไม่ส่งผลต่ออุณหภูมิของการเปลี่ยนโครงสร้างผลึกซึ่งแสดงให้เห็นในรูปที่ 2.1



รูปที่ 2.1 ผลของธาตุสมต่อแผนภูมิเฟสของโลหะผสมไทเทเนียม [1]

โลหะผสมไทเทเนียมจะถูกแบ่งออกเป็น 3 ประเภทได้แก่ α , β และ $\alpha+\beta$ นอกจากนั้นยังมีการแบ่งย่อยลงไปอีก ได้แก่ near- α alloys ซึ่งหมายถึงโลหะผสมที่มีการเติมธาตุ β -stabilizing เพียงเล็กน้อย และ metastable β alloys ซึ่งหมายถึงโลหะผสมที่มีการเติมธาตุ β -stabilizing 多 กว่า 40 % จนมีผลทำให้เฟส β ไม่สามารถเปลี่ยนเป็นมาრ์เกนไซต์ได้ในระหว่างที่ทำการเย็บตัวอย่างรวดเร็ว ทำให้เกิดเป็นบริเวณที่มี 2 เฟสขึ้น การจัดประเภทของโลหะผสมไทเทเนียมได้แสดงไว้ในรูปที่ 2.2



รูปที่ 2.2 แผนภูมิเฟสสามมิติสำหรับแบ่งประเภทของโลหะผสมไทเทเนียม [1]

คุณสมบัติของโลหะไทเทเนียมผสมจะขึ้นกับการจัดเรียงตัวของเฟส, สัดส่วนโดยปริมาตรของแต่ละเฟส และคุณสมบัติเฉพาะของเฟสต่างๆ เป็นสำคัญ เมื่อเปรียบเทียบกับโครงสร้าง

ผลึกแบบ Body-centered cubic ของเฟส β และโครงสร้างผลึกแบบ Hexagonal closed-pack จะมีความหนาแน่นสูงกว่าและมีโครงสร้างผลึกแบบ anisotropy ส่วนคุณสมบัติในด้านอื่นๆของเฟส α เมื่อเทียบกับเฟส β มีดังนี้

1. ความต้านทานการเกิด plastic deformation สูงกว่า
 2. ค่า creep resistance สูงกว่า
 3. ค่า ductility ต่ำกว่า
 4. ค่า diffusion rate ต่ำกว่าเฟส β มาก
 5. สมบัติทางกลและคุณสมบัติทางกายรูปเป็นแบบ anisotropic
- สมบัติทางกล ทางกายรูป และด้านอื่นๆ ของเฟส α , β และ $\alpha+\beta$ เมื่อเทียบกันแสดงไว้ในตารางที่ 2.2 รายละเอียดของแต่ละเฟสจะได้กล่าวไว้ในส่วนถัดไป

ตารางที่ 2.2 คุณสมบัติของเฟส α , β และ $\alpha+\beta$ ของโลหะผสมไทเทเนียม [1]

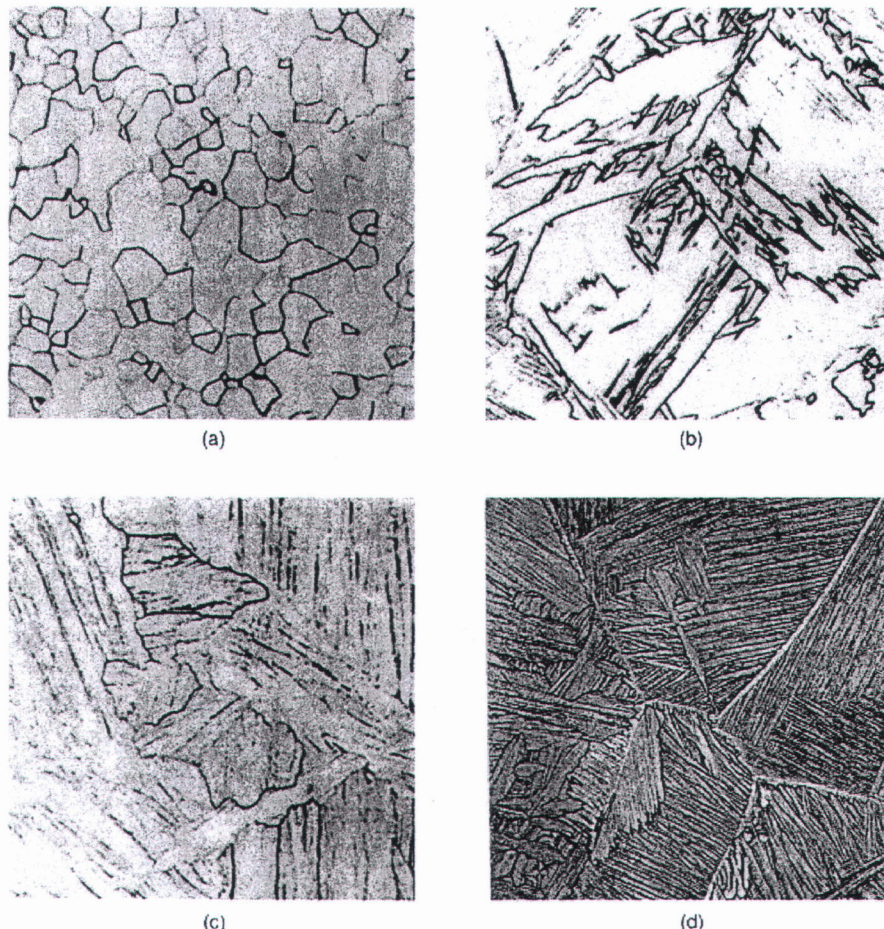
	α	$\alpha+\beta$	β
Density	+	+	-
Strength	-	+	++
Ductility	-/+	+	+/-
Fracture toughness	+	-/+	+/-
Creep strength	+	+/-	-
Corrosion behavior	++	+	+/-
Oxidation behavior	++	+/-	-
Weldability	+	+/-	-
Cold formability	--	-	-/+

2.1.2 รายละเอียดของเฟสต่างๆของโลหะไทเทเนียมผสม

2.1.2.1 โลหะผสม α

α alloys เป็นโลหะผสมที่มีค่าความแข็งแรงแรงดึงดันข้างตัวแต่มีค่า thermal stability ที่สูงทำให้มีค่า creep strength ที่สูงในช่วงอุณหภูมิที่สูง นอกจากนั้นยังคงรักษาความเนียนไว้ได้ที่อุณหภูมิต่ำกว่าอุณหภูมิห้อง แต่เนื่องจากมีโครงสร้างเป็น Hexagonal closed- pack และมีอัตราการเกิด strain hardening ที่สูงจึงทำให้ความสามารถในการขึ้นรูปต่ำ สมบัติทาง

กลของโลหะผสม α จะไม่เข้ากับโครงสร้างจุลภาค แม้ว่าโลหะผสมนี้จะมีโครงสร้างจุลภาคที่หลักหลากรูปตามดังแสดงไว้ในรูปที่ 2.3



รูปที่ 2.3 โครงสร้างจุลภาคของ CP titanium: (a) อบอ่อนที่อุณหภูมิ $700\text{ }^{\circ}\text{C}$ เป็นเวลา 1 ชั่วโมง แสดงให้เห็นเกรนแบบ equi-axed ของ α (X100); (b) เย็นตัวอย่างรวดเร็วจาก β -phase field แสดงให้เห็นเข็มของ α (X150); (c) เย็นตัวในอากาศ แสดง widmanstatten ของ α (X100); (d) near- α alloy IMI 685 เย็นตัวในอากาศ แสดงให้เห็นการจัดเรียงตัวแบบ basket weave ของ widmanstatten plates ของ α โดยมีเฟส β ผสมอยู่เล็กน้อย [2]

เกรนแบบ Equi-axed จะเกิดขึ้นเมื่อโลหะผสมถูกนำไปทำการ recrystallization ในรูปที่ 2.3(ก) ขนาดเกรนจะค่อนข้างเล็กเนื่องจากอุณหภูมิในกระบวนการการค่อนข้างต่ำและการมีอยู่ของ impurities ซึ่งจะไปยึดบริเวณขอบเกรนทำให้เกรนไม่สามารถโตต่อไปได้ ค่าความเดันแรงดึงที่อุณหภูมินี้ของสามารถคำนวณได้จาก Hall-Petch relationship การเย็นตัวอย่างรวดเร็วจาก β -phase field ทำให้เกิดเฟส hexagonal martensitic หรือเรียกว่าเฟส α' ซึ่งจะมีความหนาแน่นของ dislocation มากแต่มีจำนวน twins อยู่เพียงเล็กน้อยหรืออาจจะไม่มีเลย ความแข็งที่เพิ่มขึ้นจากการเกิดเฟส α' นี้สามารถจะทึบได้เนื่องจากเกรนที่ได้มีขนาดใหญ่และไม่เกิด

สารละลายนอกแข็งอิ่มตัวยังคงอยู่ของอะตอมตัวถูกละลาย การเย็นตัวอย่างช้าๆจาก β -phase field จะทำให้ได้โครงสร้าง widmanstatten plate ของ α ถ้ามีการเติมธาตุ β -stabilizing หรือ impurities จะทำให้ได้โครงสร้างแบบ basket weave ของ α plates

α alloys ซึ่งเย็นตัวลงมาจากการเปลี่ยนรูปที่ดี ให้เกเนียมบริสุทธิ์ทางการค้าจะมีส่วนผสมของออกซิเจนที่ต่างกันไป โดยออกซิเจนที่เติมลงไปจะทำให้ค่าความแข็งแรงเพิ่มขึ้นอย่างมากแต่ในขณะเดียวกันก็ทำให้ความหนึ่งมวลลงเข่นกัน

α alloys ถูกนำมาใช้งานในด้านเคมีและกระบวนการทางวิศวกรรมเป็นหลัก เนื่องจากมีความต้านทานการกัดกร่อนและความสามารถในการเปลี่ยนรูปที่ดี ให้เกเนียมบริสุทธิ์ทางการค้าจะมีส่วนผสมของออกซิเจนที่ต่างกันไป โดยออกซิเจนที่เติมลงไปจะทำให้ค่าความแข็งแรงเพิ่มขึ้นอย่างมากแต่ในขณะเดียวกันก็ทำให้ความหนึ่งมวลลงเข่นกัน

ให้เกเนียมบริสุทธิ์ทางการค้า(Commercially pure titanium) จะมีตั้งแต่เกรด 1 ถึง 4 โดยจะมีค่า tensile strength อยู่ในช่วง 240-740 MPa เกรดที่ 1(0.18O-0.2Fe) จะมีค่าความแข็งแรงต่ำสุดแต่จะมีความสามารถในการขึ้นรูปเย็นที่ยอดเยี่ยม นิยมนำไปใช้ในงานขึ้นรูปลีกหรือในงานที่ต้องการความต้านทานการกัดกร่อนสูงแต่ไม่ต้องการความแข็งแรงมากนัก เกรดที่ 2(0.25O-0.3Fe) มีค่าความแข็งแรงดีในช่วง 390-540 MPa เป็นเกรดที่นิยมใช้กันมากที่สุด เกรดที่ 3(0.35O-0.35Fe) เป็นเกรดที่มีความสามารถในการขึ้นรูปเย็นปานกลางและมีค่าความแข็งแรงสูงถูกนำมาใช้ในการผลิตห่อความดัน เกรดที่ 4(0.4O-0.5Fe) เป็นเกรดที่มีค่าความแข็งแรงสูงสุดนิยมน้ำมานำมาใช้ในงานจับยืด

สำหรับการใช้งานที่ต้องการความต้านทานการกัดกร่อนสูงมากจะมีการเติมธาตุ Pd ลงไปประมาณ 0.2% แต่เนื่องจากมีราคาแพงจึงนิยมใช้โดยผสมเกรดอื่นๆ มากกว่า สำหรับการใช้งานที่ต้องการความแข็งแรงสูงมาก นิยมใช้โดยผสม Ti-5Al-2.5Sn ซึ่งเป็นเกรดที่มีการใช้งานมานานแล้ว

2.1.2.2 โลหะผสม Near α

Near α alloys เป็นโลหะผสมที่มีธาตุ β -stabilizing อยู่ไม่เกิน 2% ซึ่งจะทำให้เกิดเฟส β ในโครงสร้างเล็กน้อยแต่ยังไม่มากพอที่จะทำให้เกิดการเพิ่มความแข็งแรง เนื่องจากอาจเกิดการสลายตัวของเฟส β ที่เหลืออยู่ได้ Near α alloys ส่วนใหญ่จะถูกทุบขึ้นรูปและผ่านกระบวนการทางความร้อนใน $\alpha+\beta$ phase field ซึ่งจะทำให้เกิด primary α ขึ้นมาก่อน เฟสที่เกิดขึ้นนานี้จะช่วยในการปรับปรุงด้าน creep performance

โลหะผสมประภากนีนิยมนำไปใช้งานที่อุณหภูมิสูง เนื่องจากมี creep behavior ที่ดีซึ่งเป็นคุณสมบัติของโลหะผสม α และมีค่าความแข็งแรงสูงซึ่งเป็นคุณสมบัติของโลหะผสม $\alpha+\beta$ ผสมผสานกัน ช่วงอุณหภูมิการใช้งานอยู่ที่ $500-550^{\circ}\text{C}$

Ti-8-1-1 เป็นโลหะผสมไทเทเนียมประภากแรกที่ถูกนำมาใช้งานที่อุณหภูมิสูงโดยมีส่วนผสมของอะลูมิเนียมเป็นหลักแต่เนื่องจากปัญหาการเกิด stress corrosion จึงเติมอะลูมิเนียมได้ไม่เกิน 6% ต่อมาได้มีการค้นพบโลหะผสม Ti-6-2-4-2 ซึ่งพัฒนาโดย Timet จากนั้นได้มีการค้นพบว่าการเติมชิลิกอนเพียง 0.1% โดยน้ำหนักจะช่วยป้องกัน creep behavior ให้ดีขึ้นเนื่องจากที่อุณหภูมิสูงชิลิกอนจะตกผลึกบน dislocation ซึ่งจะไปขัดขวางการ climb ของ dislocation เรียกโลหะผสมนี้ว่า Ti-6-2-4-2-s

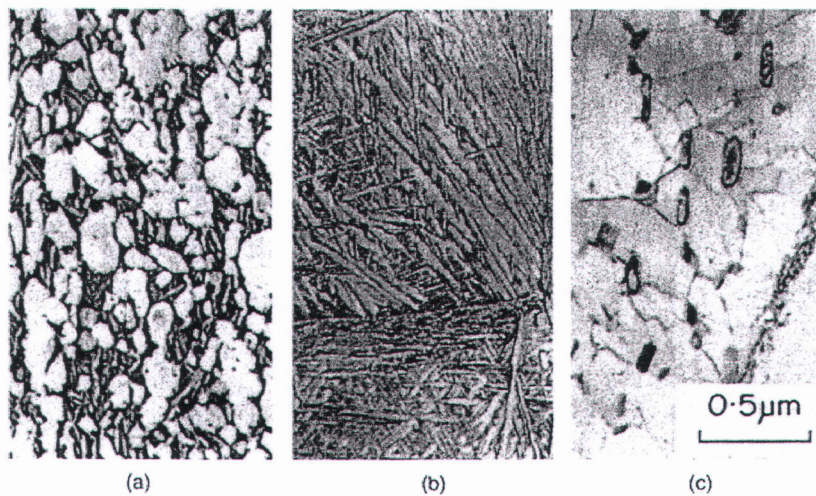
1. Heat-treated in $\alpha+\beta$ phase field

โลหะผสม Near α alloys ส่วนใหญ่จะถูกทุบเข้ารูป และผ่านกระบวนการทางความร้อนจนถึงบริเวณที่มีเฟส α และ β ผสมกันหลังจากนั้นจะถูกปล่อยให้เย็นตัวในอากาศเพื่อให้ได้ค่า creep strength สูงสุด โครงสร้างที่ได้เป็นเกรนแบบ equi-axed ของ primary α และส่วนที่เป็น widmanstatten α ซึ่งเกิดจากการ nucleation and growth ของ β แสดงไว้ในรูปที่ 2.4 การเย็นตัวอย่างรวดเร็วจะทำให้เกิดเฟส martensitic ๆ จากเฟส β ซึ่งจะทำให้ค่าความแข็งแรงแรงดึง เพิ่มขึ้นแต่ค่า creep resistance ลดลง

2. Heat-treated in β phase field

โลหะผสม Near α alloys เช่น IMI 685(Ti-6Al-5Zr-0.5Mo-0.25Si) ซึ่งมี α/β transus ที่ 1020°C ถูกให้ความร้อนเข้าไปที่อุณหภูมิ 1050°C และเย็นตัวอย่างรวดเร็วโครงสร้างที่ปรากฏเป็น martensitic ๆ ซึ่งมีส่วนที่เป็นฟิล์มบางๆ ของเฟส β ที่เหลืออยู่เล็กน้อยในรูปที่ 2.4b การบ่มต่อที่อุณหภูมิ $500-550^{\circ}\text{C}$ จะช่วยลดความเส้นซึ่งเกิดจากการเย็นตัวอย่างรวดเร็วและทำให้เกิดการเพิ่มความแข็งแรง เฟส ํๆ จะเปลี่ยนเป็นโครงสร้าง lath ของเฟส α ซึ่งถูกยึดกับอนุภาคขนาดเล็กซึ่งกระจายตัวอยู่ ซึ่งอนุภาคนี้เกิดจากการ spheroidization ของ inner lath film ถ้าการบ่มกระทำที่อุณหภูมิสูงกว่านี้ เช่น 850°C จะพบ

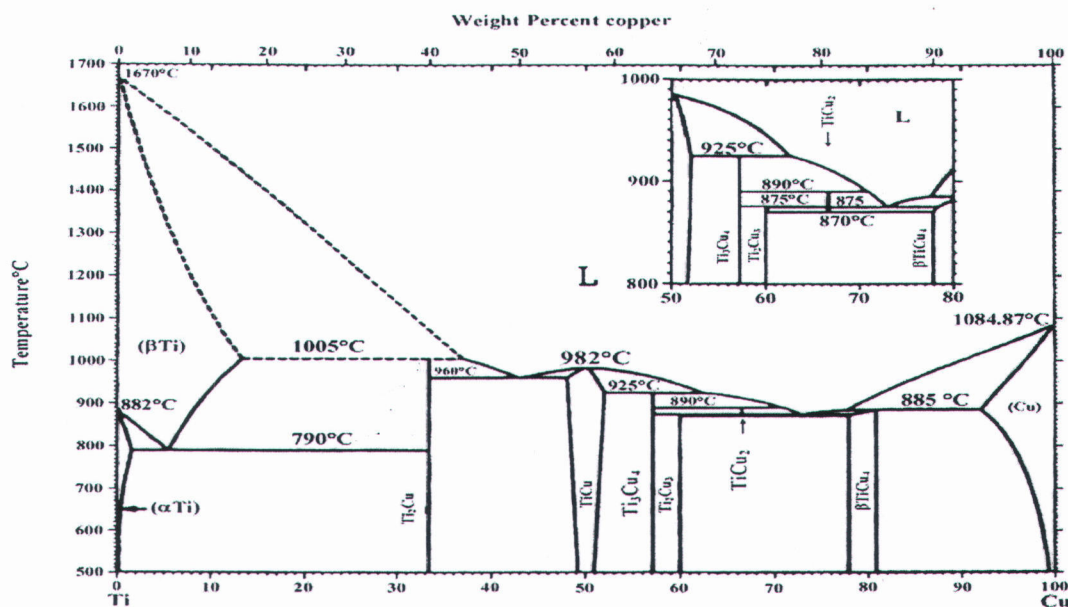
อนุภาคที่ตกผลึกออกมากของ $(\text{Ti},\text{Zr})_5\text{Si}_3$ ซึ่งกระจายอยู่ตามโครงข่ายของ dislocation ดังรูปที่ 2.4c



รูปที่ 2.4 (a) IMI 679 alloy เย็นตัวในอากาศจาก $\alpha + \beta$ phase field เพสสีขาวคือ primary α และส่วนที่เหลือคือ widmanstatten ของเพส α ($\times 500$); (b) IMI 685 alloy เย็นตัวในน้ำมันจาก β phase field แสดง martensitic ของเพส α' และเพส β ที่เหลืออยู่บริเวณเล็กน้อย ($\times 75$); (c) IMI 685 alloy เย็นตัวในน้ำมันจาก β phase field และบ่มที่อุณหภูมิ 850°C แสดงอนุภาคของเพส $(\text{Ti},\text{Zr})_5\text{Si}_3$ ($\times 30000$) [2]

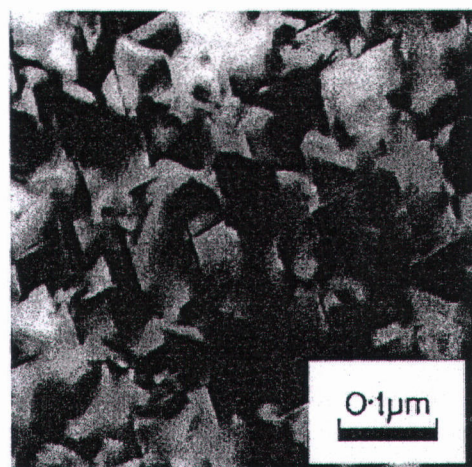
3. การบ่มแข็งของโลหะผสม Ti-Cu [2]

ถึงแม้ว่าโลหะผสมไทเทเนียมกับทองแดงจะไม่ค่อยเป็นที่รู้จักมากนัก ในทางการค้า แต่โลหะผสมไทเทเนียมกับทองแดงซึ่งมีส่วนผสมแบบ Titanium-rich สามารถนำมาพัฒนาให้ร่วมกับกระบวนการบ่มแข็ง ได้ จากแผนภูมิเพสของ ไทเทเนียมและทองแดงในรูปที่ 2.5 พบร่วมกับความสามารถในการละลายของ ทองแดงสูงสุดใน α ไทเทเนียมอยู่ที่อุณหภูมิ 798°C คือ 2.1% และลดลงเหลือ 0.7% ที่อุณหภูมิ 600°C และละลายได้น้อยมากที่อุณหภูมิห้อง โลหะผสมนี้ยัง สามารถขึ้นรูปเย็นหลังการทำ solution treatment และบ่มต่อเพื่อเพิ่มความ แข็งแรงได้อีกด้วย



รูปที่ 2.5 แผนภูมิเฟสของโลหะผสม Ti-Cu [7,8]

โลหะผสม IMI230 (Ti-2.5Cu) ถูกนำมาใช้ในรูปของโลหะแผ่นซึ่งสามารถนำมาผ่านกระบวนการทางความร้อนได้และเป็นโลหะผสมไทเทเนียมเพียงไม่กี่ชนิดที่สามารถปรับปรุงความแข็งแรงโดยใช้กรรมวิธี บ่มแข็งได้ โดยการทำ solution treatment ที่อุณหภูมิ 805°C แล้วเย็นตัวในอากาศหรือในน้ำมัน จากนั้นทำการบ่มที่อุณหภูมิ 400 และ 475°C ตามลำดับ เรียกการบ่มแบบนี้ว่า “Duplex aging” ทำให้เกิดการตกผลึกของเฟส Ti_2Cu ซึ่งไม่เสียกระจายตัวบนเฟสพื้น β แบบมีแรงยึดเกาะกับเนื้อพื้นที่ดังรูปที่ 2.6



รูปที่ 2.6 แผ่นของเฟส Ti_2Cu ซึ่งได้จากการบ่มโลหะผสม Ti-2.5Cu (IMI230) [2]

ผลจากการบ่มแข็งทำให้ค่าความแข็งแรงเพิ่มขึ้น 150-170 MPa และสามารถปรับปรุงค่าความแข็งแรงโดยนำโลหะผสานมาผ่านการขึ้นรูปเย็น หลังจากทำ solution treatment ก่อนการบ่มแข็ง การเติมธาตุอื่นๆ เพื่อทำให้การบ่มแข็งมีประสิทธิรูปที่ดีขึ้นยังไม่ได้มีการวิจัยเพิ่มเติมมากนัก



2.1.2.3 โลหะผสม $\alpha + \beta$

โลหะผสม α alloy มีจุดจำกัดในด้านความแข็งและการขึ้นรูปว่อนเมื่อปริมาณของตัวถูกละลายมาก จึงได้มีการพัฒนาโลหะผสม $\alpha + \beta$ ซึ่ง โลหะผสมชนิดนี้มีความสำคัญทางการค้ามากที่สุดโดยเฉพาะโลหะผสม Ti-6Al-4V ซึ่งมีการนำไปใช้งานมากกว่าครึ่งหนึ่งของโลหะผสมไทเทเนียมทั้งหมด โลหะผสม Ti-6Al-4V (IMI318) มีความแข็งแรงแรงดึงและมีความสามารถในการขึ้นรูปที่ดี แต่ค่า creep strength จะลดลงเมื่ออุณหภูมิสูงกว่า 400 °C นิยมนนำไปใช้ทำชิ้นส่วนที่ต้องผ่านการทุบขึ้นรูป เช่น ใบพัดเครื่องบินเจ็ท

โลหะผสม $\alpha + \beta$ ส่วนใหญ่จะประกอบด้วยธาตุซึ่งเพิ่มความเสถียรรูปและทำให้เฟส α มีความแข็งแรงขึ้น นอกจากนั้นยังประกอบด้วยธาตุ β -stabilizing 4-6% ซึ่งทำให้มีอิเล็กตรอนตัวอย่างรวดเร็วจาก β many $\alpha + \beta$ phase field จะมีเฟส β เหลืออยู่ปริมาณมาก ธาตุ β -stabilizing จะส่งผลให้ความแข็งแรงเพิ่มขึ้นจากการเกิดสารละลายของแข็ง แต่จะส่งผลไม่มากนักดังแสดงในตารางที่ 2.3

ตารางที่ 2.3 Solid solution strengthening และประสิทธิรูปของธาตุ β -stabilizing ที่เติมลงในโลหะผสม [2]

	Element								
	V	Cr	Mn	Fe	Co	Ni	Cu	Mo	
Solid solution strengthening (MPa wt% ⁻¹)	19	21	34	46	48	35	14	27	
Minimim alloy content to retain β on quenching (%)	14.9	6.3	6.4	3.5	7	9	13	10	

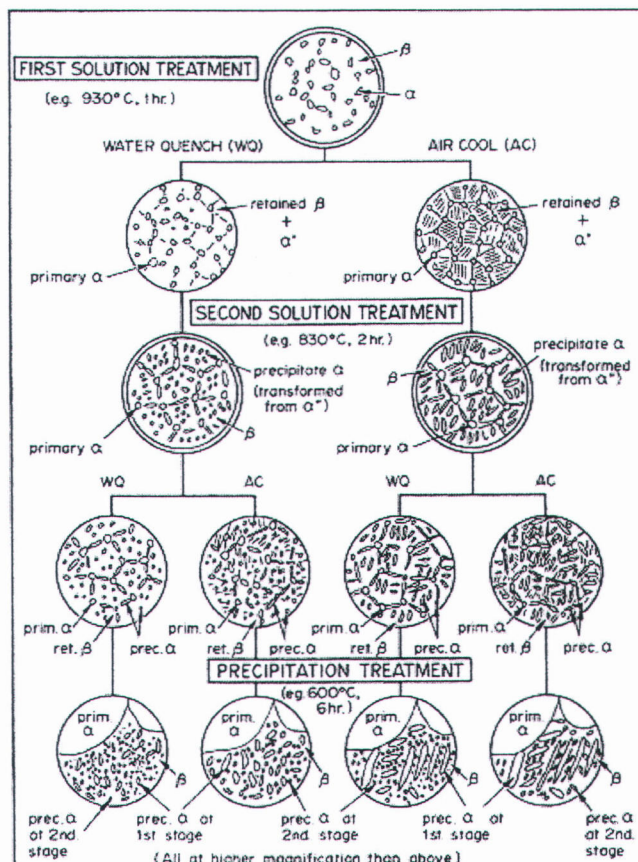
โลหะผสม $\alpha + \beta$ สามารถเพิ่มความแข็งแรง ได้อีกจากการทำอบคืนตัวหรือการบ่มอย่างต่อเนื่องโดยค่า ความแข็งแรงแรงดึงที่ได้จะมากกว่า 1400 MPa โลหะผสม $\alpha + \beta$ นิยมทำ

สำนักงานคณะกรรมการวิจัยแห่งชาติ
ห้องสมุดวิทยาศาสตร์
วันที่ 10 มิ. 2555
เลขที่เบียน 938367
เลขเรียกหนังสือ

soft quenching โดยการทำ solution treatment ที่อุณหภูมิในช่วง $\alpha + \beta$ phase field และเย็นตัวลงมาอย่างช้าๆ ($50-150^{\circ}\text{C}$ ต่อชั่วโมง) ที่อุณหภูมิ 700°C จากนั้นจึงเย็นตัวในอากาศ ลงมาที่อุณหภูมิห้อง

โครงสร้างที่ได้จะมี primary α ปรากฏอยู่เนื่องจากอุณหภูมิที่ใช้ทำ solution treatment อยู่ในช่วง $\alpha + \beta$ phase field โครงสร้างต่างๆ ที่จะได้รับแสดงในรูปที่ 2.7 เนื่องจากโครงสร้างที่ได้มีความหลากหลายจึงมีความเป็นไปได้ที่จะสามารถควบคุมสมบัติทางกลของโลหะสมัยเทเนียมได้

การสลายตัวของเฟส β ซึ่งหลงเหลือจากการเย็นตัวอย่างรวดเร็ว จะเกิดขึ้นเมื่อทำการบ่มที่อุณหภูมิสูง ซึ่งเป็นปัจจัยที่สำคัญในการทำกรรมวิธีทางความร้อนของโลหะสมัย α และ $\alpha + \beta$ เพื่อปรับปรุงค่าความแข็งแรงแรงดึง เนื่องจากการสร้างโครงสร้าง hcp ของเฟส α จากโครงสร้าง bcc ของเฟส β ซึ่งเป็นเฟสพื้นเกิดขึ้นได้ยาก ในระหว่างที่เกิดการเปลี่ยนแปลงมากเกิด intermediate products(เฟส γ)



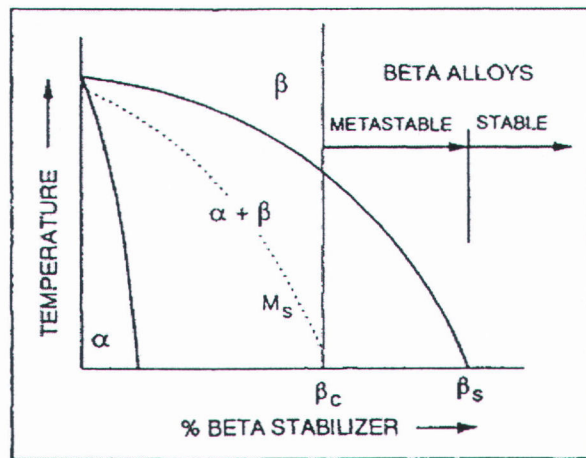
รูปที่ 2.7 แผนผังแสดงโครงสร้างจุลภาคแบบต่างๆ ที่ได้รับหลังจากการทำ double solution treatment ตามด้วยการเย็นตัวในน้ำ (WQ) หรือในอากาศ (AC) และทำการอบคืนตัว หรือ precipitation treatment [2]

การมีอยู่ของเฟส γ ในโลหะผสมจะทำให้เกิดการเปลี่ยนรูปแบบเนื่องจากเฟส γ จะขัดขวางการเคลื่อนที่ของ dislocation แต่มีข้อดีเมื่อนำไปใช้งานในด้านตัวนำไฟฟ้ายิ่งขึ้น การหลักเลี้ยงหรือลดปริมาณของการเกิดเฟส γ ทำได้โดยการควบคุมเงื่อนไขในการบ่มหรือส่วนผสมของโลหะผสม อุณหภูมิสูงสุดที่ทำให้เฟส γ มีความเสถียรคือ 475°C ใน binary alloys ส่วนใหญ่ช่วงอุณหภูมิที่เสถียรนี้สามารถลดลงได้โดยการเพิ่มปริมาณของตัวถูกละลาย เช่น เฟส γ จะปรากฏในโลหะผสม Ti-V แต่จะไม่ปรากฏในโลหะผสม Ti-6Al-4V ซึ่งเป็นเหตุผลที่ทำให้ต้องเติม Al ลงในโลหะผสม $\alpha + \beta$ และ β อย่างน้อย 3%

การเกิดเฟส α จากโครงสร้างชั้นประgap บัดดี้ $\beta + \gamma$ กลไกการเกิดเฟส α จะขึ้นกับความไม่เข้ากัน(misfit) ระหว่างเฟสทั้งสอง ถ้ามีความไม่เข้ากันน้อยเฟส α จะเกิดขึ้นได้ยากและเกิดตามขอบเขตของเฟส β ถ้ามีความไม่เข้ากันมาก เฟส α จะเกิดขึ้นตาม interface ของ β และ γ

2.1.2.4 โลหะผสม β

โลหะผสม β ไกเทเนียมจะต้องมีปริมาณของธาตุผสมชั้นเพิ่มความเสถียรให้กับเฟส β อย่างเพียงพอเพื่อที่จะทำให้หลงเหลือเฟส β เมื่อเกิดการเย็นตัวในระหว่างการทำกรรมวิธีทางความร้อนไม่ว่าจะเป็นเงื่อนไขแบบเสถียรหรือกึ่งเสถียรดังในรูปที่ 2.8 ปริมาณของธาตุผสมจะต้องเพียงพอเพื่อที่จะหลักเลี้ยงเส้น martensite start (M_s) ส่วนผสมของโลหะผสมชั้นอยู่ในช่วงระหว่าง minimum critical level (β_c) หรือจุดที่เส้น M_s ตัดกับเส้นอุณหภูมิห้องกับจุดที่เส้น β transus ตัดกับเส้นอุณหภูมิห้อง (β_t) ช่วงส่วนผสมนี้สามารถที่จะเกิดการตกผลึกของเฟสที่สองชั้นส่วนใหญ่คือเฟส α ในระหว่างการบ่มได้ เรียกช่วงของส่วนผสมนี้ว่า "metastable β " ถ้าปริมาณของธาตุ β -stabilizing มากกว่าที่จุด β_t จะเรียกว่า "stable β alloys" ซึ่งโลหะผสมนี้ไม่ค่อยมีการนำไปใช้งานมากนัก



รูปที่ 2.8 Pseudo-binary β -isomorphous phase diagram แสดงขอบเขตของ metastable β และ stable β ของโลหะผสมไทเทเนียม [2]

Molybdenum เป็นธาตุที่นิยมใช้ในโลหะผสม β ไทเทเนียม ซึ่งโลหะผสมชนิดนี้จะต้องมีค่า Mo equivalent ≥ 10 โดยค่า Mo equivalent สามารถคำนวณได้ดังนี้

$$\% \text{ Mo equivalent} = 1.0(\% \text{ Mo}) + 0.67(\% \text{ V}) + 0.44(\% \text{ W}) + 0.28(\% \text{ Nb}) + 0.22(\% \text{ Ta}) + 2.9(\% \text{ Fe}) + 1.6(\% \text{ Cr}) - 1.0(\% \text{ Al})$$

ธาตุอื่นๆที่นิยมใช้ในโลหะผสม β ไทเทเนียม ได้แก่ Fe, Cr และ V

โลหะผสม β ไทเทเนียมมีคุณสมบัติในการขึ้นรูปที่ดี สามารถขึ้นรูปเย็นใน soft condition และสามารถเพิ่มความแข็งแรงได้ด้วยการบ่มเย็น นอกจากนั้นยังสามารถทำการเพิ่มความแข็ง(hardening) ได้ในชิ้นส่วนที่มีลักษณะหนาเพราะปริมาณของธาตุ β -stabilizing ซึ่งulatoryอยู่ปริมาณมากจะช่วยเพิ่ม hardenability ส่วนผสมของโลหะผสมทางการค้าที่ใช้กันในตอนแรกคือ Ti-13V-11Cr-3Al ซึ่งจะนำมาผ่านกระบวนการ solution treated จากนั้นเย็นตัวอย่างรวดเร็วแล้วขึ้นรูปเย็น ท้ายที่สุดจึงนำมาทำการบ่ม กลไกการเพิ่มความแข็งแรงที่เกิดขึ้นได้แก่ การเกิดสารละลายของแข็งของเฟส β และการตกผลึกของเฟส α ซึ่งมีลักษณะคล้ายเดียวกับอยู่ทั่วเนื้อพื้น β ทำให้โลหะผสมชนิดนี้มีค่าความแข็งแรงสูงถึง 1300 MPa

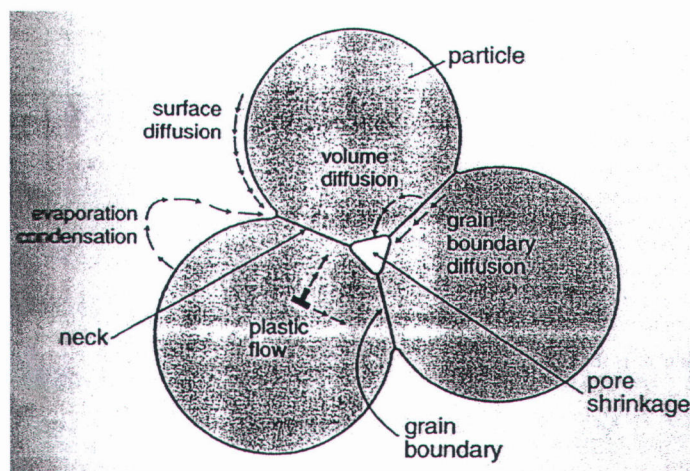
ส่วนผสมของโลหะผสม β ไทเทเนียมแบบ metastable ที่ใช้กันในรุ่นต่อมาได้มีการปรับเปลี่ยนโดยการเติมธาตุ Al, Zr หรือ Sn เพื่อยับยั้งการเกิดเฟส γ ในระหว่างการทำกรรมวิธีทางความร้อนและทำให้เกิดเฟส α เพิ่มขึ้น จำกัดปริมาณธาตุที่เพิ่มความเสถียรให้กับเฟส β -eutectoid เช่น Cr เพราะทำให้เกิดการเปราะนៅองจากการเกิดสารประกอบ TiCr₂ หรือสารประกอบอื่นๆ นอกจากนั้นยังทำให้การตอบสนองต่อการบ่มเย็นลดลง

โลหะผสม β ไทเทเนียมมีค่าความแข็งแรงสูงมากและมี hardenability ที่ดีซึ่งสามารถทำให้ทำกรรมวิธีทางความร้อนกับวัสดุซึ่งมีขนาดใหญ่ได้ มีค่า toughness และ fatigue resistance ที่ดี นิยมนำไปใช้ทำชิ้นส่วนที่ต้องการความแข็งแรงสูง เช่น landing gear ของเครื่องบิน และในวัสดุแบบแผ่นจะมีความสามารถในการขึ้นรูปเย็นที่ดี

2.1.3 กระบวนการเผาผนึก (Sintering) [4]

การเผาผนึกจะทำให้โครงสร้างของชิ้นงานอัดขึ้นรูปแข็งแรงขึ้นโดยทำให้เกิดพันธะระหว่างอนุภาคเรียกว่า "Interparticle neck" ดังแสดงในรูปที่ 2.9 อนุภาคที่เชื่อมติดกันจะเปลี่ยนเป็นเกรน อุณหภูมิในการเผาผนึกที่สูงขึ้นจะทำให้การเคลื่อนที่ของอะตอมดีขึ้นส่งผลให้คุณสมบัติการเผาผนึกดีขึ้น ปัญหาที่เกิดขึ้นหลังจากทำการเผาผนึกคือการเปลี่ยนแปลงขนาดของชิ้นงานอัดขึ้นรูป ซึ่งอาจเกิดการหดตัวหรือขยายตัวจึงจำเป็นต้องมีการควบคุมหดตัวเบรต่างๆ ให้ดี

ปัจจัยที่ต้องควบคุมในระหว่างการเผาผนึกได้แก่ อุณหภูมิ, บรรยายกาศและเวลาในการให้ความร้อน โดยเริ่มแรกจะให้ความร้อนจนถึงอุณหภูมิที่ทำให้ binder สารหล่อลื่นระเหยออกไปก่อน จากนั้นจะให้ความร้อนขึ้นไปจนถึงอุณหภูมิเผาผนึก ซึ่งเป็นอุณหภูมิที่ทำให้เกิดพันธะ หากเผาผนึกที่อุณหภูมนี้นานเกินไปจะทำให้คุณสมบัติการเผาผนึกลดลงเรียกว่าการเกิด "Oversintering" เป็นผลมาจากการเกรนและรูพรุนซึ่งมีขนาดใหญ่ขึ้น จากนั้ออุณหภูมิของชิ้นงานอัดขึ้นรูปจะลดลงเรื่อยๆ จนถึงอุณหภูมิห้อง ค่าความแข็งแรงจะเพิ่มขึ้นเรียกว่าการเกิด "Sinter hardening"



รูปที่ 2.9 รูปร่างของอนุภาคทั้งสามในระหว่างการเผาผนึกแสดงการเคลื่อนที่ของอะตอมซึ่งเกี่ยวข้องกับการเกิดพันธะของอนุภาค [4]

เฟสของเหลวซึ่งเกิดขึ้นในระหว่างการเผาผ่านก็จะทำให้อัตราการเผาผ่านเพิ่มขึ้นเรื่อยๆ กรรมวิธีการเผาผ่านแบบนี้ว่า “Liquid phase sintering” ซึ่งทำได้โดยการผสมผงโลหะที่มีจุดหลอมเหลวต่ำกว่าผงโลหะอีกชนิดหนึ่งพอสมควรลงไปทำให้ผงโลหะซึ่งมีจุดหลอมเหลวต่ำกว่าเกิดเป็นเฟสของเหลวขึ้นมาในระหว่างเผาผ่าน ก็จะเกิดขึ้นบริเวณที่อนุภาคผงโลหะสัมผัสถักกันซึ่งเป็นบริเวณที่เหมาะสมในการเพิ่มพันธะระหว่างอนุภาค ผงโลหะผสานของเหล็กมักเดิมฐานที่ทำให้เกิดเฟสของเหลว เช่น พอสฟอรัสหรือทองแดง แรงตึงผ้าที่เพิ่มขึ้นจากเฟสของเหลวที่เกิดขึ้นจะช่วยให้เกิด capillary force ซึ่งช่วยดึงอนุภาคเข้าหากันออกจากนั้นยังช่วยให้อัตราการเคลื่อนที่ได้เร็วขึ้น ทำให้อัตราการเผาผ่านเพิ่มขึ้น ข้อดีที่สำคัญของกระบวนการนี้คือทำให้ความหนาแน่นของชิ้นงานอัดขึ้นรูปเพิ่มขึ้นเนื่องจากเฟสของเหลวที่เกิดขึ้นจะไปแทนที่บริเวณที่รูพรุนทำให้ปริมาณรูพรุนลดลง แต่การเกิดเฟสของเหลวซึ่งทำให้อัตราการเคลื่อนที่ได้เร็วขึ้นจะทำให้เกิดการเปลี่ยนแปลงขนาดของชิ้นงานอัดขึ้นรูปได้มากเท่านั้น ดังนั้นการควบคุมปริมาณเฟสของเหลวที่เกิดขึ้น อัตราการให้ความร้อนและเวลาที่คงไว้ในระหว่างการเผาผ่านก็จะมีความจำเป็นเพื่อหลีกเลี่ยงปัญหาดังกล่าว การที่อัตราการเคลื่อนที่ได้เร็วขึ้นยังส่งผลให้รูพรุนเกิดการเปลี่ยนแปลงขนาดและรูปร่าง และทำให้เกรวโนได้รับความเสียหาย

โลหะผสานไทเทเนียมกับทองแดงเมื่อผ่านการเผาผ่านที่อุณหภูมิ 1000°C โดยศึกษาจากแผนภูมิเฟสของไทเทเนียมและทองแดงจากรูปที่ 2.5 พบว่า โลหะผสานที่มีทองแดงผสานอยู่ 2 และ 4% ซึ่งเป็นส่วนผสม hypo-eutectoid เมื่อเผาผ่านที่อุณหภูมิ 1000°C แล้วเย็นตัวลงมาในช่วงแรกจะมี primary α เกิดขึ้น จากนั้นเฟส β จะถลวยตัวเกิดโครงสร้างระหว่าง $\alpha\text{-Ti}$ และ Ti_2Cu โครงสร้างสุดท้ายจะเป็นแบบ hypo-eutectoid โลหะผสานที่มีทองแดงผสานอยู่ 7% หรือส่วนผสม eutectoid โครงสร้างหลังการเผาผ่านเกิดจาก เฟส β ถลวยตัวเป็น $\alpha\text{-Ti}$ และ Ti_2Cu หรือโครงสร้าง eutectoid สำหรับส่วนผสม 10 และ 15% ซึ่งเป็นส่วนผสม hyper-eutectoid ปริมาณทองแดงที่เพิ่มขึ้นทำให้เกิดสารประกอบ Ti_2Cu มากขึ้น โครงสร้างแบบ eutectoid มีปริมาณมากขึ้น

2.2 งานวิจัยที่เกี่ยวข้อง

2.2.1 “Mechanical Properties and Microstructures of cast Ti-Cu alloys” [5]

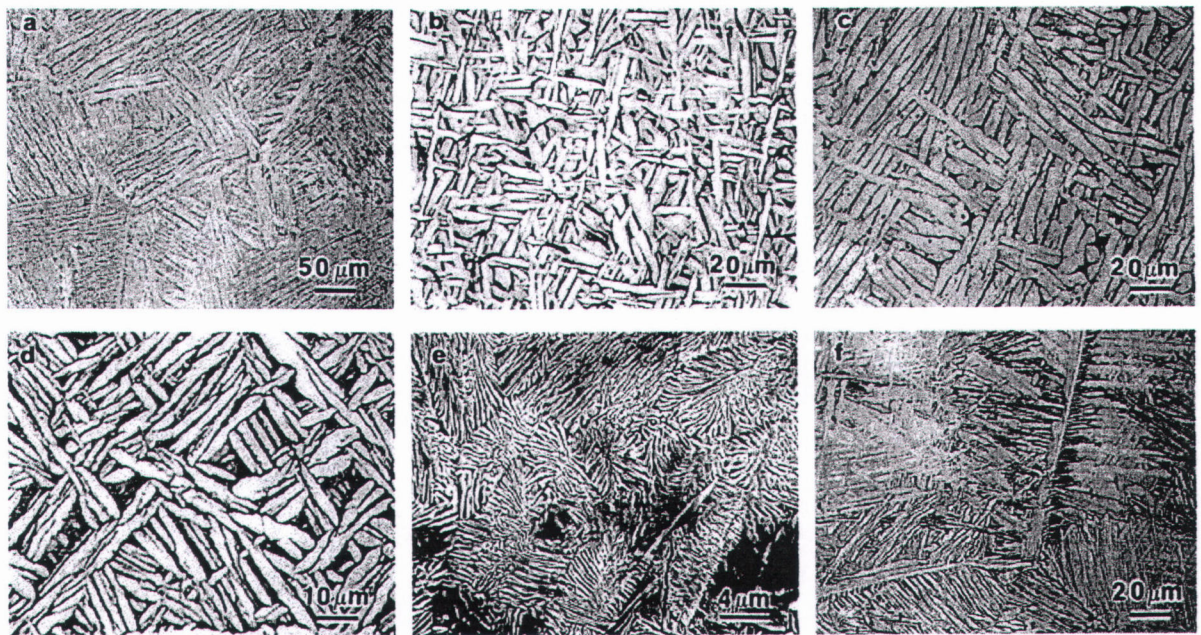
Masafumi Kikuchi^{a,*}, Yokyu Takada^a, Seigo Kiyosue^b, Masanobu Yoda^c, Magaret Woldu^d, Zhou cai^d, Osamu Okuno^b, Toru Okabe^d: (2003)

คณะวิจัยจากญี่ปุ่นได้ทำการศึกษาสมบัติทางกลของโลหะผสมไทเทเนียมกับทองแดงโดยวิธีการหล่อโดยมีวัตถุประสีค์เพื่อปรับปรุงสมบัติทางกลของโลหะผสมไทเทเนียมที่จะนำไปใช้งานในด้านหันตกรรมให้ดีขึ้นกว่าการใช้ไทเทเนียมบริสุทธิ์

โลหะผสมไทเทเนียมกับทองแดง 5 ส่วนผสม (0.5, 1, 2, 5 และ 10% โดยมวล) ถูกหลอมใน argon arc melting furnace และหล่อใน magnesia mold โดยวิธีการหล่อเหลว จากนั้นได้ทำการศึกษาโครงสร้างจุลภาค ความแข็งตามแนวรอยตัด คุณสมบัติแรงดึงและการยืดตัว

Scanning electron microscope fractography ได้ถูกนำมาใช้ในการศึกษารอยแตกที่พื้นผิวของชิ้นงานหลังผ่านการทดสอบแรงดึง ชิ้นงานที่ผ่านการขัดละเอี้ยดแล้วจะถูกนำไปวิเคราะห์ด้วย XRD

จากการตรวจสอบด้านโครงสร้างจุลภาคในรูปที่ 2.10 พบร่วมโครงสร้างของ CP-Ti (commercially pure Ti) จะเป็นแบบ widmansttten และ basket-weave ซึ่งมีลักษณะเป็น acicular ของเฟส α ที่ส่วนผสม 1% และ 2%Cu จะมีโครงสร้างที่คล้ายคลึงกันคือมีเฟส α ตรงบริเวณซึ่งเคยเป็นเกรนของเฟส β มา ก่อน ส่วนผสม 5%Cu จะประกอบไปด้วย primary α และโครงสร้างแบบยูเทกตอยด์ซึ่งเป็นแบบของ α-Ti และ Ti₂Cu ซึ่งเปลี่ยนแปลงมาจากเฟส β ที่อุณหภูมิยูเทกตอยด์ ส่วนผสม 10%Cu โครงสร้างที่ได้เป็นแบบยูเทกตอยด์ สำหรับรูปที่ 2.10f เป็นโครงสร้างของงานหล่อ Ti-6Al-4V เพื่อเปรียบเทียบกับโครงสร้างก่อนหน้านี้ โดยโครงสร้างของ Ti-6Al-4V เป็นแบบ widmansttten ของเฟส α ซึ่งแยกตัวออกจากเฟส β ในระหว่างการเย็บตัวและมีเฟสพื้นเป็นเฟส β



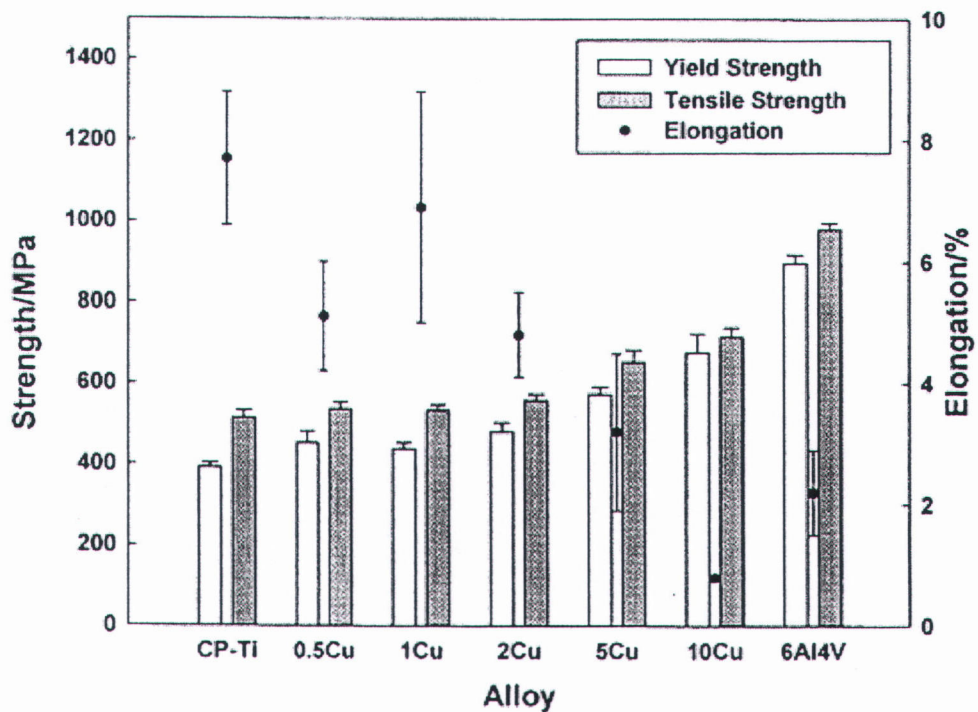
รูปที่ 2.10 โครงสร้างจุลภาคของโลหะหล่อ (a) CP Ti; (b) 1%Cu; (c) 2%Cu; (d) 5%Cu; (e) 10%Cu; (f) Ti-6Al-4V [5]

จากการตรวจสอบด้วย XRD พบร่วมกับส่วนผสม 5% และ 10%Cu พบ peak ของ Ti_2Cu ซึ่งเปลี่ยนไปจาก plane 103 และ 110 และ peak อื่นๆซึ่งเกี่ยวข้องกับ α -Ti โลหะผสมซึ่งมีทองแดงต่ำกว่า 2% จะพบเพียง peak ของ α -Ti แต่จะไม่พบ peak ของ Ti_2Cu สำหรับโลหะผสม Ti-6Al-4V จะพบทั้ง peak ของ α -Ti และ β -Ti

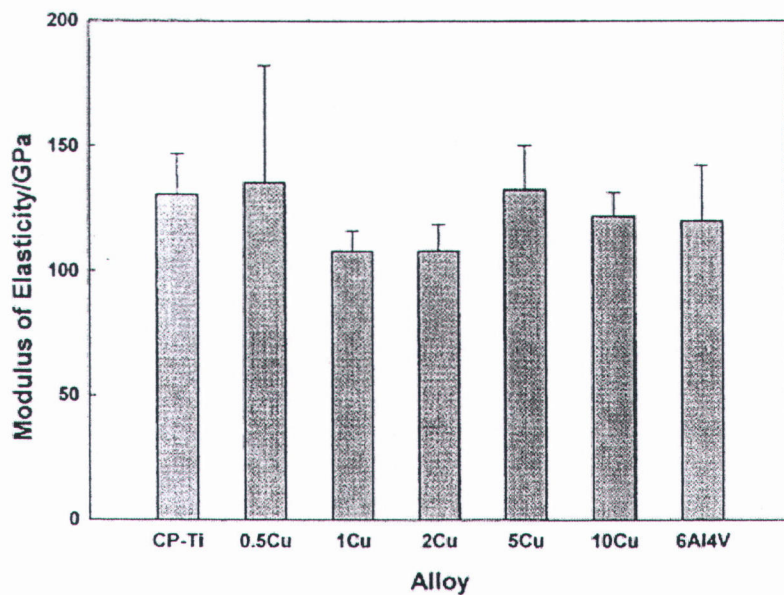
จากการทดสอบสมบัติทางกลค่าความแข็งแรงดึงและการยืดตัวได้ถูกแสดงไว้ในรูปที่ 2.11 ในขณะที่ค่ามอดูลัสยืดหยุ่นแสดงไว้ในรูปที่ 2.12 จากกราฟพบว่าโลหะผสม Ti-6Al-4V ให้ค่าความแข็งแรงดึงสูงสุด และโลหะผสม 10%Cu จะให้ค่าความแข็งแรงดึงสูงกว่า 5%Cu และส่วนผสมที่มีทองแดงน้อยกว่ารวมถึง CP Ti สำหรับค่า ความเด่นแรงดึง พบร่วมกับโลหะผสม Ti-6Al-4V จะให้ค่าสูงสุดเมื่อเทียบกับโลหะที่นำมาทดสอบทั้งหมด และโลหะผสม 5% และ 10%Cu จะให้ค่านี้สูงกว่าโลหะผสมที่มีทองแดงต่ำกว่า

จากการภาพพบว่าสำหรับโลหะผสม Ti-Cu ค่าความแข็งแรงดึงและ ความเด่นแรงดึง จะแปรผันตรงกับปริมาณของทองแดง ส่วนค่า elongation จะแปรผกผันกับปริมาณทองแดง

จากการตรวจสอบค่า elongation โลหะผสม 10%Cu จะให้ค่านี้ต่ำกว่าโลหะทั้งหมดที่นำมาทดสอบและ CP Ti กับโลหะผสม 1%Cu จะให้ค่านี้สูงกว่าโลหะผสมอื่นทั้งหมด ค่ามอดูลัสยืดหยุ่นที่ได้จากการตรวจสอบพบว่าโลหะแต่ละชนิดให้ค่าใกล้เคียงกันและไม่มีความสัมพันธ์กับปริมาณทองแดง



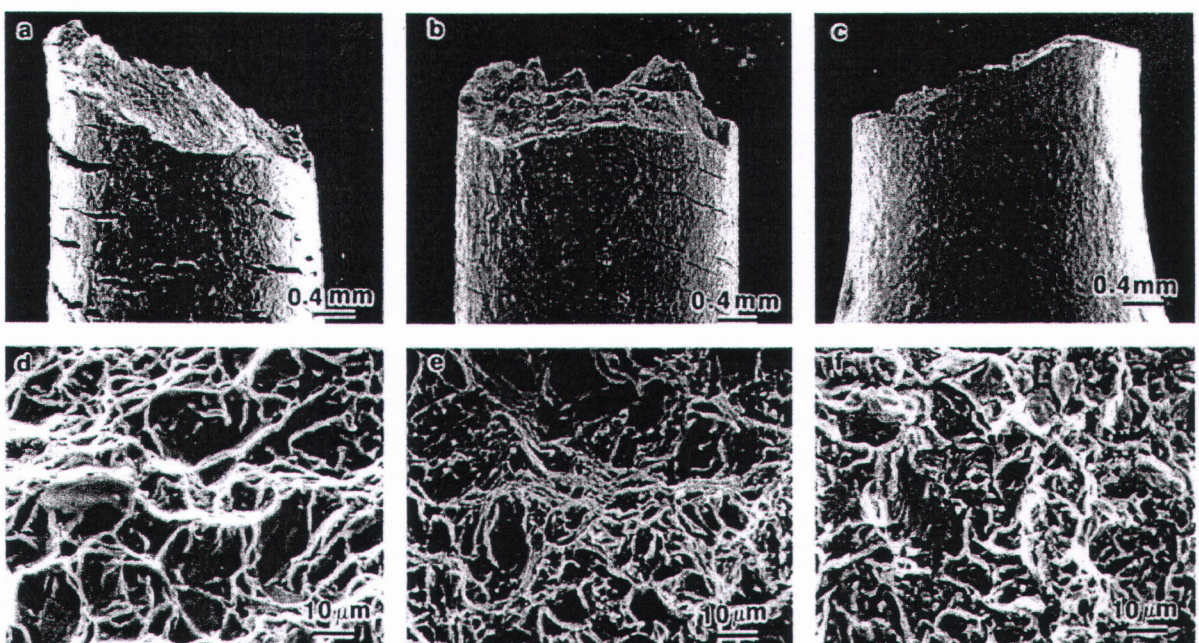
รูปที่ 2.11 Tensile strength, ความเค้นแรงดึง และ elongation ของโลหะที่นำมาทดสอบ [5]



รูปที่ 2.12 Modulus of elasticity ของโลหะที่นำมาทดสอบ [5]

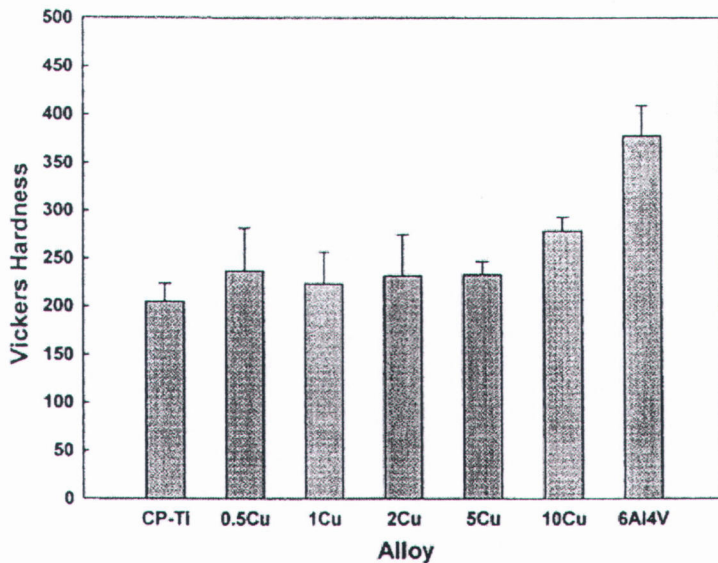
จากการตรวจสอบร้อยแทกของชิ้นงานตัวอย่างซึ่งผ่านการทดสอบแรงดึงด้วยกล้อง SEM ที่แสดงไว้ในรูปที่ 2.13 a-f พบร้อยแทกตามขวางบนพื้นผิวของชิ้นงานทดสอบส่วนผสม 1%Cu (รูป 2.14a) เมื่อเทียบกับ 5%Cu (รูป 2.14b) พบร้อยแทกลดลงและพบร้อยแทก

น้อยมากใน 10%Cu (รูป 2.14c) สำหรับรอยแตกภายในชิ้นงานของโลหะสม 1% และ 5%Cu (รูปที่ 2.14 d และ e) พนว่ามีลักษณะเป็นแองเลิกและประกอบด้วยรูพรุนเล็กๆ เชื่อมต่อกันตามรอยของการแตก และพบรการแตกแบบเบรake ในบางเกณฑ์ของโลหะสม 5%Cu ในโลหะสม 10%Cu (รูปที่ 2.14 f) พน cleave grain ในบางจุด



รูปที่ 2.13 รูปถ่าย SEM ของโลหะหล่อที่ผ่านการทดสอบแรงดึง Exterior view: (a) 1%Cu; (b) 5%Cu; (c) 10%Cu. Interior view: (d) 1%Cu; (e) 5%Cu; (f) 10%Cu. [5]

จากการตรวจสอบความแข็งแบบ bulk hardness (ความแข็งที่ระยะลึกจากพื้นผิว 300 μm) รูปที่ 2.14 พนว่าโลหะสม Ti-6Al-4V ให้ค่าความแข็งสูงสุดในโลหะที่นำมาทดสอบ สำหรับโลหะสม Ti-Cu ที่ส่วนผสม 10%Cu จะให้ค่าความแข็งมากที่สุดเมื่อเทียบกับ ส่วนผสมอื่นและ CP Ti ให้ค่าความแข็งต่ำที่สุด จากกราฟพบว่าความแข็งมีแนวโน้มเพิ่มขึ้น เมื่อเพิ่มปริมาณทองแดง



รูปที่ 2.14 Bulk hardness ของโลหะหล่อ [5]

2.2.2 “Excessive porosity after liquid-phase sintering of elemental Ti powder blends”[6]

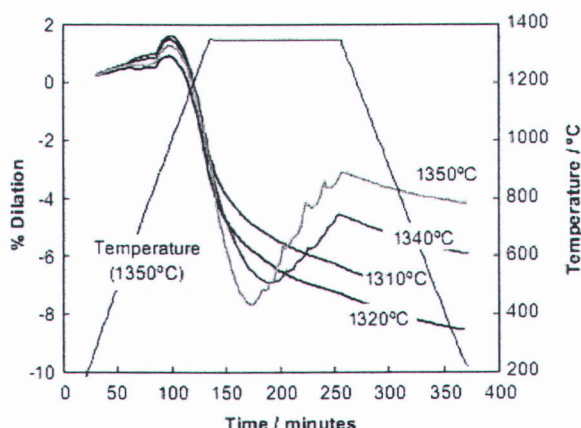
R.J. Low, I.M. Robertson and G.B. Schaffer*(2007)

งานวิจัยชิ้นนี้ได้ศึกษาการทำการเผาผนึกของ Ti binary alloys โดยใช้แบบ blend elemental ผลิตโดยกรรมวิธีแบบ hydride-dehydride ผสมกับ silicon หรือ nickel จากนั้นทำการเผาผนึกในสูญญากาศ การพองตัว (Swelling) และรูพุรุนส่วนเกินจะเกิดขึ้นเมื่อเกิดเฟสของเหลวและมีความหนาแน่นสัมพัทธ์ของชิ้นงานสูงเกิน 90% แก๊สไฮโดรเจนซึ่งถูกปล่อยออกมากจากผงโลหะในระหว่างการเผาผนึกจะเข้าไปอยู่ในรูพุรุนแบบปิดทำให้เกิดความแตกต่างของความดันระหว่างชิ้นงานตัวอย่างและสิ่งแวดล้อมทำให้เกิดการขัดขวางการเกิด sintering stress เป็นผลให้ชิ้นงานเกิดการขยายตัว

ผงไทเทเนียมซึ่งผลิตโดยกรรมวิธี Hydride milling dehydride (HDH) ซึ่งมีไฮโดรเจนผสมอยู่ 0.02% โดยน้ำหนัก ถูกนำมาผสมกับผงซิลิกอน 5% โดยน้ำหนักหรือผงนิกเกิล 4-9% โดยน้ำหนัก ผงที่ถูกผสมจะถูกนำมาอัดขึ้นรูปในแม่พิมพ์รูปทรงกระบอกโดยใช้แรงอัด 200-600 MPa ทำให้ได้ชิ้นงานซึ่งมีขนาดเส้นผ่าศูนย์กลางและความสูง 1 cm จากนั้นชิ้นงานซึ่งผ่านการอัดขึ้นรูปจะถูกนำไปวางไว้ใน sample holder ของ dilatometer และเผาผนึกที่อุณหภูมิ 1100-1350 °C เป็นเวลา 2 ชั่วโมงที่อัตราการให้ความร้อน 10 °C ต่อนาทีแล้วปล่อยให้เย็นตัวลงในอัตราเดียวกัน

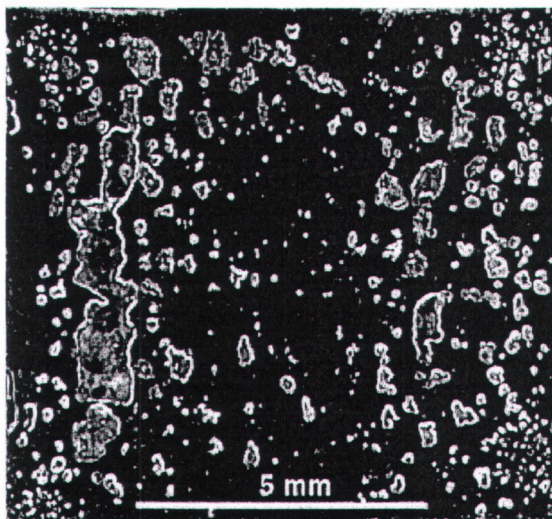
ความหนาแน่นก่อนการทำการเผาผนึกสามารถคำนวณได้จากน้ำหนักและปริมาตรของชิ้นงาน ชิ้นงานซึ่งผ่านการเผาผนึกจะถูกตัดตามขวางแล้วนำไปปั๊บเพื่อศึกษาโครงสร้างจุลภาคโดยใช้กล้องจุลทรรศน์แสง

ข้อมูลจาก dilatometer แสดงไว้ในรูปที่ 2.15 จากกราฟพบว่าการขยายตัวในช่วงแรกของ การเผาผนึกเกิดจากการขยายตัวเนื่องจากได้รับความร้อนและการเกิดโลหะสมรรถห่วง ไทเทเนียมและซิลิกอน หลังจากนั้นจะเกิดการหดตัวตามแนวแกนซึ่งทำการวัดด้วย dilatometer สำหรับที่อุณหภูมิการเผาผนึกที่ 1310 และ 1320°C ชิ้นงานจะเกิดการหดตัวอย่างต่อเนื่องและอัตราการหดตัวจะลดลงเมื่อเวลาผ่านไป ที่อุณหภูมิการเผาผนึกที่ 1340 และ 1350°C หลังจากทำการเผาผนึกที่อุณหภูมิเผาผนึกไปเป็นเวลา 30-60 นาที ชิ้นงานจะเกิดการขยายตัวและเกิดอย่างต่อเนื่องจนชิ้นงานเย็นตัว

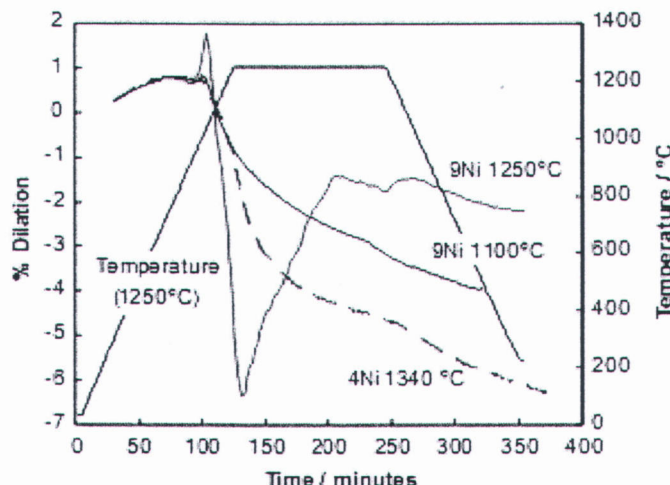


รูปที่ 2.15 ข้อมูลจาก Dilatometry ของชิ้นงาน Ti-5Si ที่แรงอัด 400 MPa อุณหภูมิเผาผนึก 1310- 1350°C เป็นเวลา 2 ชั่วโมง [6]

รูปดัดขวางของชิ้นงานซึ่งผ่านการเผาผนึกที่อุณหภูมิ 1350°C ในรูปที่ 2.16 แสดงให้เห็นถึงรูปรุนทดใหม่ซึ่งปรากฏในโลหะผสม Ti-Ni เช่นกัน ข้อมูลจาก dilatometer ของโลหะผสม Ti-Ni แสดงไว้ในรูปที่ 2.17 จากกราฟพบว่าการเปลี่ยนแปลงจากการหดตัวเป็นการขยายตัวจะเกิดขึ้นที่อุณหภูมิและส่วนผสมที่แน่นอน



รูปที่ 2.16 รูปตัดขวางของชิ้นงาน Ti-5Si อุณหภูมิเผาผิง 1350°C เป็นเวลา 2 ชั่วโมง [6]

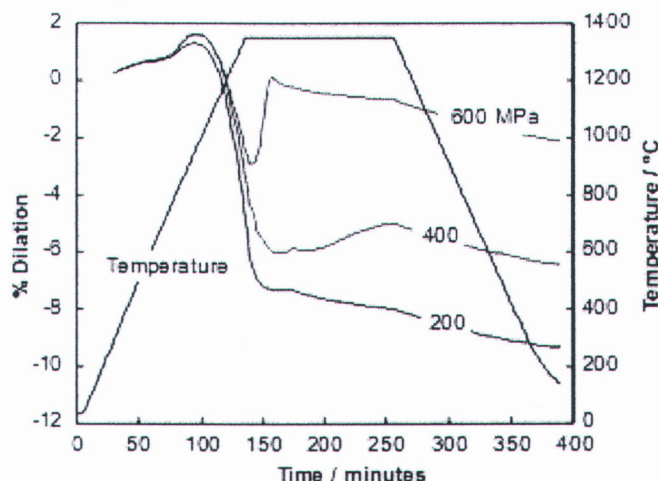


รูปที่ 2.17 ข้อมูลจาก Dilatometry ของโลหะผสม Ti-4Ni และ Ti-9Ni ที่แรงอัด 400 MPa อุณหภูมิเผาผิง 1100-1340°C เป็นเวลา 2 ชั่วโมง [6]

ผลจาก dilatometer สำหรับส่วนผสม Ti-5wt%Si ชิ้นรูปด้วยแรงอัด 200, 400 และ 600 MPa (green density 63.4%, 73.5% และ 79.9% ตามลำดับเมื่อเทียบกับความหนาแน่นทางทฤษฎี) และเผาผิงที่อุณหภูมิ 1350°C เป็นเวลา 2 ชั่วโมงแสดงไว้ในรูปที่ 2.18 เกิดการหดตัวตามแนวแกนซึ่งวัดด้วย dilatometer เพียงอย่างเดียวสำหรับแรงอัด 200 MPa เกิดการหดตัวและขยายตัวเล็กน้อยสำหรับแรงอัด 400 MPa และเกิดการหดตัวและขยายตัวอย่างรวดเร็วสำหรับแรงอัด 600 MPa

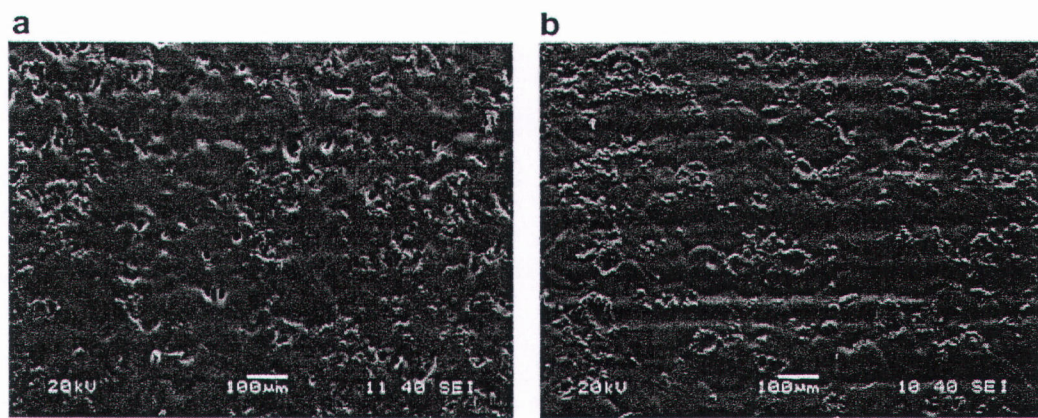
ความหนาแน่นที่เวลาที่เกิดการหดตัวมากที่สุดและหลังจากทำการเผาผิงไปแล้วเป็นเวลา 2 ชั่วโมงสามารถคำนวณได้จาก green density และจาก dilatometry โดยสมมติว่าการ

หดตัวในแนววัสดุมีเท่ากับการหดตัวตามแนวแกนและหักลบการขยายตัวเชิงเส้นตรงซึ่งเกิดจาก การรับความร้อนซึ่งคิดเป็น 1.44% สำหรับผงไทเทเนียมบริสุทธิ์



รูปที่ 2.18 ข้อมูลจาก Dilatometry ของโลหะผสม Ti-5Si ที่แรงอัด 200, 400 และ 600 MPa (green density 63.4%, 73.5% และ 79.9% ตามลำดับ) อุณหภูมิเผาณีก 1350°C เป็นเวลา 2 ชั่วโมง [6]

จากการคำนวณนี้ทำให้เห็นว่าการขยายตัวของชิ้นงานจะเริ่มเกิดขึ้นเมื่อความหนาแน่นมีค่าสูงกว่า 90% ซึ่งมีความสัมพันธ์กับปริมาณรูพรุนแบบปิดซึ่งเพิ่มขึ้น ชิ้นงานซึ่งใช้แรงอัด 200 MPa มีความหนาแน่นหลังจากการผ่านการเผาณีกเป็นเวลา 2 ชั่วโมงที่ 85% จึงทำให้ไม่เกิดการขยายตัวของชิ้นงานซึ่งรูพรุนส่วนใหญ่เป็นรูพรุนแบบเปิดสูญพื้นผิวดังรูปที่ 2.19a สำหรับชิ้นงานซึ่งขึ้นรูปด้วยแรงอัด 600 MPa จะมีรูพรุนเปิดสูญพื้นผิวน้อยมากดังรูปที่ 2.19b



รูปที่ 2.19 รูปถ่ายพื้นผิวจากกล้อง SEM ของชิ้นงานทรงกระบอก อุณหภูมิเผาณีก 1350°C เป็นเวลา 2 ชั่วโมง a) 200 และ b) 600 MPa [6]

เงื่อนไขเปลี่ยนแปลงจากการหดตัวเป็นการขยายตัวมีด้วยกัน 2 เงื่อนไข อย่างแรกคือการเกิดเฟสของเหลว สำหรับชิ้นงาน Ti-5Si อุณหภูมิมิยูเทคติกทางด้าน Si-rich คือ 1330°C ซึ่งการขยายตัวจะเกิดขึ้นที่อุณหภูมิสูงกว่านี้ สำหรับโลหะผสม Ti-Ni การขยายตัวจะเกิดขึ้นที่อุณหภูมิสูงกว่าอุณหภูมิ solidus (1150°C สำหรับ 9wt%Ni และ 1400°C สำหรับ 4wt%Ni) ประการที่สองที่ทำให้เกิดขยายตัวและรูพุนขนาดใหญ่คือ รูพุนแบบปิดที่ความหนาแน่นสัมพัทธ์ของชิ้นงานประมาณ 90%

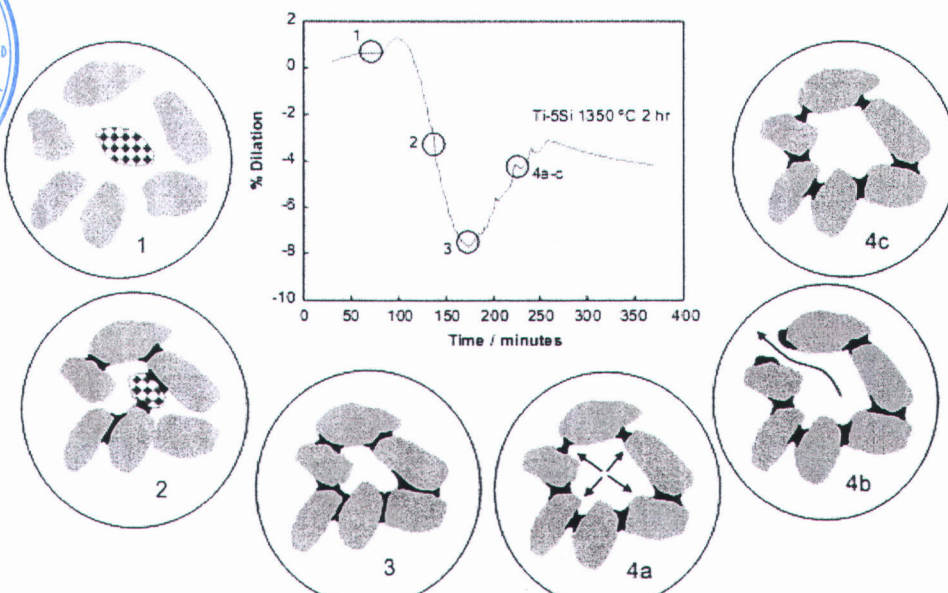
ความเค้นซึ่งเกิดขึ้นเนื่องจากการผาณนึกและมีเฟสของเหลวเกิดขึ้นสามารถคำนวณได้จากสมการ

$$\sigma = 2\gamma/r - \Delta P$$

γ คือแรงตึงผิวของเฟสของเหลว, r คือ รัศมีของรูพุนและ ΔP คือความดันในรูพุนที่เปลี่ยนไป ค่า $2\gamma/r$ เรียกว่า capillary pressure ในระบบ quasi-static การเพิ่มขึ้นของความหนาแน่นจะหยุดลงเมื่อรูพุนซึ่งหดตัวมีแก๊สอยู่ภายในซึ่งทำให้ความดันภายในรูพุนเพิ่มขึ้น ความดันที่แตกต่างกันระหว่างบรรยายกาศภายนอกและภายในรูพุนตรงกับ capillary pressure ทำให้เกิดการเปลี่ยนแปลงจากการหดตัวเป็นการขยายตัวเนื่องจากมีแก๊สซึ่งเกิดจากปฏิกิริยาภายในรูพุนเพิ่มขึ้น ซึ่งเป็นสิ่งที่เกิดขึ้นในระบบที่กำลังศึกษาในงานวิจัยนี้

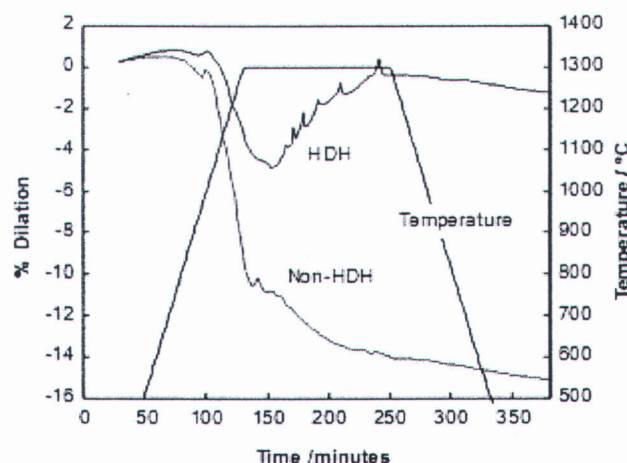
รูปที่ 2.20 แสดงกลไกการหดและขยายตัวของชิ้นงาน ณ จุดที่ 1 วัสดุผสมระหว่าง Ti และ Si หรือ Ni ยังคงอยู่ในสถานะของแข็ง เฟสของเหลวเกิดขึ้นและเกิดการเพิ่มขึ้นของความหนาแน่นอย่างรวดเร็ว ที่จุดที่ 2 จุดที่ 3 รูพุนส่วนใหญ่จะเป็นรูพุนแบบปิดและแก๊สที่เกิดขึ้นภายในรูพุนจะไม่สามารถออกไปยังพื้นผิวได้ทำให้เกิดการขยายตัวของรูพุนเนื่องจากความดันภายในรูพุนสูงกว่า capillary pressure เมื่อความดันภายในรูพุนเพิ่มขึ้นถึงจุดหนึ่งแก๊สจะถูกผลักดันออกไปยังพื้นผิวและไปยังรูพุนซึ่งมีความดันต่ำกว่าทำให้เกิดการหดตัวของชิ้นงานอีกรั้งซึ่งแสดงให้เห็นเป็นรูปฟันเลื่อยที่จุดที่ 4

แก๊สที่เกิดขึ้นภายในรูพุนเป็นแก๊สไฮโดรเจนซึ่งเกิดขึ้นเมื่อผงโลหะผสมไทเทเนียมได้รับความร้อน จากการตรวจสอบด้วยเครื่อง mass spectrometer พบร้าที่อุณหภูมิต่ำกว่า 300°C แก๊สที่เกิดขึ้นจะเป็นไนโตร และที่อุณหภูมิ $500-950^{\circ}\text{C}$ แก๊สที่เกิดขึ้นส่วนใหญ่จะเป็นไฮโดรเจน แก๊สไฮโดรเจนจะเป็นสาเหตุซึ่งทำให้เกิดการขยายตัวของชิ้นงานและทำให้เกิดรูพุนขนาดใหญ่ ซึ่งสามารถตรวจสอบได้จากผลกระทบของผงโลหะผสมซึ่งผงไทเทเนียมถูกผลิตโดยกรรมวิธี dehydride ซึ่งทำในสูญญากาศและอุณหภูมิใกล้เคียงกับอุณหภูมิผาณนึกทำให้มีไฮโดรเจนผสมอยู่เล็กน้อย



รูปที่ 2.20 แผนรูปกลไกการหดตัวและการขยายตัว [6]

จากผลการทดสอบชิ้นงานซึ่งผงไทเทเนียมผลิตโดยกรรมวิธี HDH (Hydride-mill-dehydride) และ non-HDH ผสมกับพนิกเกล 7% ใช้แรงอัด 400 MPa เพาผนึกที่อุณหภูมิ 1300°C เป็นเวลา 2 ชั่วโมงซึ่งแสดงในรูปที่ 2.21 พบร่วมที่ผงไทเทเนียมซึ่งผลิตโดยกรรมวิธี non-HDH จะเกิดการหดตัวตามแนวแกนมากกว่าผงไทเทเนียมซึ่งผลิตโดยกรรมวิธี HDH และเกิดการขยายตัวน้อยกว่า



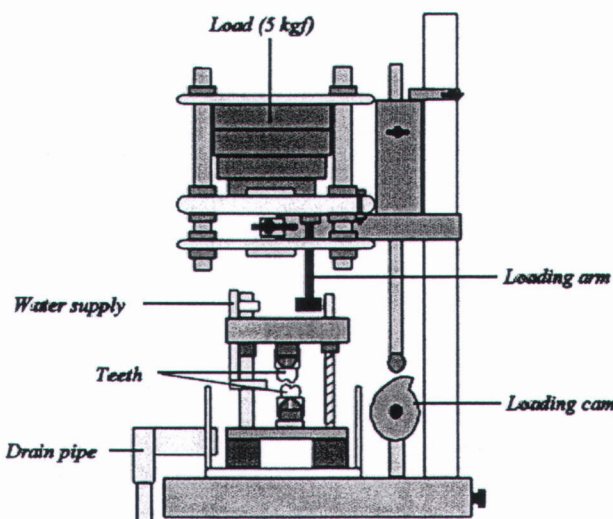
รูปที่ 2.21 ข้อมูลจาก Dilatometry ของชิ้นงาน Ti-7Ni ผลิตโดยกรรมวิธี HDH และ non-HDH [6]

2.2.3 "Wear resistance of experimental Ti–Cu alloys" [9]

C. Ohkubo^{a*}, I. Shimura^a, T. Aoki^a, S. Hanatani^a, T. Hosoi^a, M. Hattori^b, Y. Oda^b, T. Okabe^c(2003)

คณะวิจัยได้ศึกษาคุณสมบัติความต้านทานการสึกหรอของโลหะผสมไทเทเนียมผลิตโดยกรรมวิธีการหล่อซึ่งถูกนำมาใช้งานในด้านทันตกรรม เช่น พันปลอม โดยวัสดุที่ถูกนำมาทดสอบ ได้แก่ commercially pure titanium(CP Ti), CP Ti+3.0wt% Cu, CP Ti+5.0wt% Cu, Ti-6Al-4V, Ti-6Al-4V +1.0wt% Cu, Ti-6Al-4V +4.0wt% Cu และโลหะผสมทองคำ

ขั้นงานทดสอบซึ่งหล่อเป็นรูปพันปลอมจะถูกนำไปทดสอบ two body wear testing โดยเครื่องมือที่ใช้ทดสอบแสดงไว้ในรูปที่ 2.22



รูปที่ 2.22 เครื่องมือทดสอบความต้านทานการสึกหรอ [9]

พันปลอมจะถูกขัดสีกันไปมาโดยใช้แรงกด 5 Kgf (60 รอบต่อนาที, grinding distance 2 mm) จำนวน 50000 รอบ ความต้านทานการสึกหรอจะวัดจากปริมาตรของชิ้นงานที่หายไปโดยคำนวณได้จากการวัดที่หายไปและความหนาแน่นของแต่ละชิ้นงาน

ความต้านทานการสึกหรอจะถูกวัดจากปริมาตรที่สูญเสียไปของพันปลอมทั้งบนและล่างรวมกัน วัดความแข็งของชิ้นงานแบบบริกเกอร์แรงกด 100 g

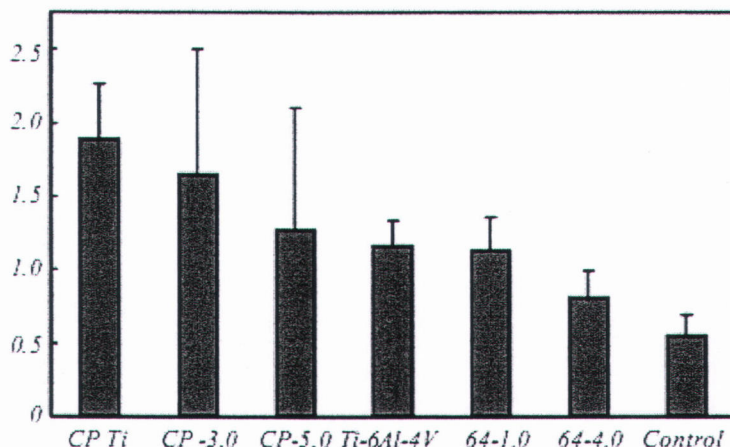
ปริมาตรที่สูญเสียหลังการขัดสี(mm^3) เพศที่ปราภูของวัสดุ ความแข็งและความหนาแน่น (g/cm^3)[mean (S.D.)] แสดงไว้ในตารางที่ 2.4 จากรูปที่ 2.23 พบว่าโลหะผสมไทเทเนียมมีความต้านทานการสึกหรอด้อยกว่าโลหะผสมทองคำ CP titanium มีค่าการสูญเสียปริมาตรสูงสุด สำหรับโลหะผสม Ti-6Al-4V-4%Cu มีความต้านทานการสึกหรอดีที่สุดเมื่อ

เปรียบเทียบระหว่างโลหะผสมไทเทเนียมและจากการพบร่วมไม่มีความสัมพันธ์กันระหว่างปริมาณที่สูญเสียหลังการขัดลื่นและความแข็ง

ตารางที่ 2.4 ปริมาณที่สูญเสีย, โครงสร้าง, ความแข็งและความหนาแน่นของชิ้นงานทดสอบ [9]

	CP Ti	CP-3.0	CP-5.0	Ti-6Al-4V	64-1.0	64-4.0	Control
Wear	1.89 (0.37) ^a	1.65 (0.85) ^{a,b}	1.27 (0.83) ^{a,b,c}	1.16 (0.18) ^{b,d}	1.13 (0.23) ^{b,d}	0.81 (0.18) ^{c,d}	0.55 (0.14) ^d
Hardness	306 (33)	262 (21)	307 (14)	338 (30)	379 (15)	447 (16)	295 (53)
Structure	α	α/Ti_2Cu	α/Ti_2Cu	$\alpha - \beta$	$\alpha + \beta/Ti_2Cu$	$\alpha + \beta/Ti_2Cu$	—
Density	4.52 (0.05)	4.54 (0.02)	4.57 (0.03)	4.42 (0.04)	4.43 (0.01)	4.47 (0.01)	15.4 (0.7)

Identical letters: no statistical difference.



รูปที่ 2.23 ปริมาณที่สูญเสียของชิ้นงาน [9]

โดยปกติแล้ววัสดุที่มีค่าความแข็งแรงแรงดึงและความแข็งแรงเฉือนต่ำอย่างเช่น Ti จะมีค่า สัมประสิทธิ์แรงเสียดทานสูง โครงสร้างของโลหะผสมไทเทเนียมมีลักษณะที่คล้ายคลึงกัน คือเป็น widmanstatten และหั้ง Ti-Cu และหั้ง Ti-6Al-4V-Cu จะมีโครงสร้างยูเทคตอยด์ (α -Ti / Ti_2Cu) อยู่เหมือนกัน

แนวโน้มหนึ่งซึ่งพบในงานวิจัยนี้คือ การเพิ่มปริมาณของทองแดงจะช่วยปรับปรุงความต้านทานการสึกหรอเนื่องจากทำให้เกิด inclusion ในโครงสร้างยูเทคตอยด์และการเติมทองแดงยังช่วยเพิ่มค่า ความแข็งแรงแรงดึงและ ความเด่นแรงดึง และทำให้ความหนึ่งต่ำลง จากรางวัลวิจัยก่อนหน้านี้ [10] พบร่วม β -Ti ซึ่งมีโครงสร้างแบบ BCC มีความหนึ่งสูงกว่า α -Ti ซึ่งมีโครงสร้างแบบ HCP จะมีความต้านทานการสึกหรอด้อยกว่า

ส่วนผสมทางเคมีซึ่งทำให้เกิดโครงสร้างยูเทคตอยด์ จะช่วยปรับปรุงความต้านทานการสึกหรอ เพราะโครงสร้างยูเทคตอยด์จะช่วยป้องกันการเกิด plastic deformation สำหรับโลหะ

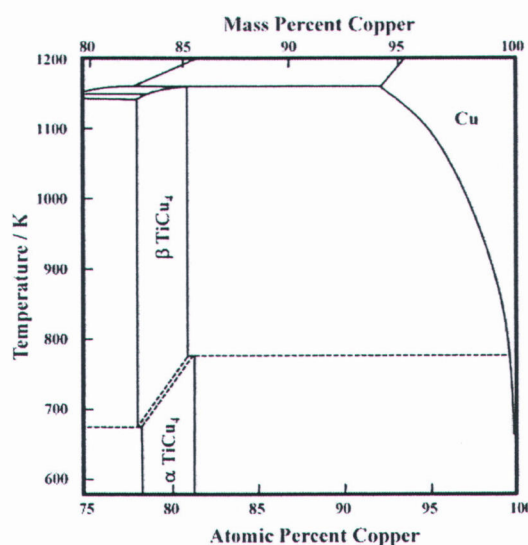
ผสมที่มีโครงสร้างแบบ 2 เฟส ($\alpha + \beta$ / Ti-6Al-4V-Cu) จะสามารถปรับปรุงความต้านทานการสึกหรอให้ดีขึ้นได้อีก

2.24 "Microstructure and mechanical properties of Cu–3 at.% Ti alloy aged in an hydrogen atmosphere"[12]

Satoshi Semboshi^a, Tomoya Nishida^a, Hiroshi Numakura^b (2009)

ทางคณะวิจัยญี่ปุ่นมีความต้องการที่จะศึกษาโครงสร้างจุลภาคและคุณสมบัติทางกล เช่น ความเด่นเรืองดึง ความสามารถในการยึดตัว ของโลหะผสม Cu-3Ti โดยผ่านการบ่มแข็งที่อุณหภูมิ 773K ในบรรยากาศที่มีแก๊สไฮโดรเจน ภายหลังการบ่มแข็งจะเกิดการแตกผลักของ $TiCu_4$ และ TiH_2 ออกมากซึ่งส่งผลต่อกุณสมบัติทางกลและการยูปชีงจะถูกศึกษาต่อไปโดยใช้กล้องจุลทรรศน์อิเล็กตรอนแบบส่องผ่าน

รูปที่ 2.24 แสดงแผนภูมิสมดุลเฟสของไทเทเนียมและทองแดงที่อุณหภูมิ 773K ไทเทเนียมสามารถละลายในทองแดงได้ 0.8% จึงทำให้โลหะผสมนี้สามารถทำบ่มแข็งได้ความสามารถในการนำไฟฟ้าของโลหะผสมจะลดลงเมื่อเทียบกับทองแดงบริสุทธิ์เนื่องจากอัตโนมัติที่ถูกละลายหรือไทเทเนียม

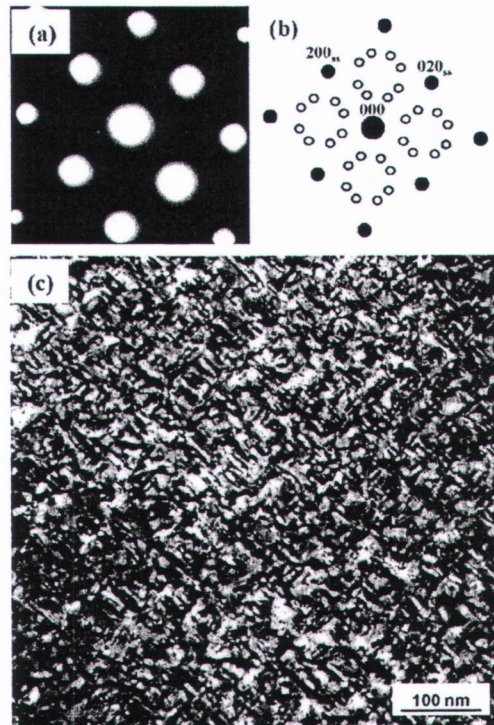


รูปที่ 2.24 แผนภูมิสมดุลเฟสของไทเทเนียมและทองแดง

โลหะผสมถูกผลิตขึ้นโดยใช้ทองแดงและไทเทเนียมบริสุทธิ์ 99.99% ผ่านการหลอมรวมกันในบรรยากาศแก๊สอาร์กอนให้ได้ส่วนผสม Cu-3Ti จากนั้นนำไปอบอ่อนที่อุณหภูมิ

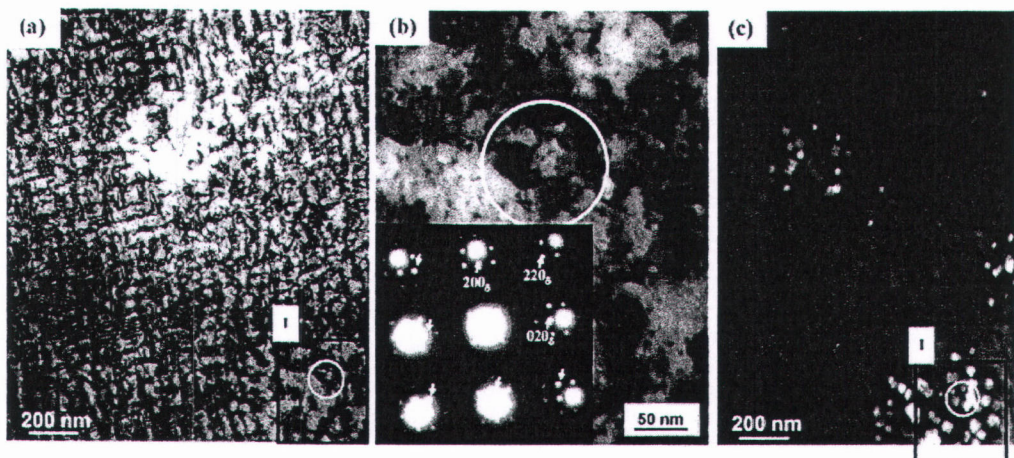
1123K เป็นเวลา 3 วันเพื่อทำให้เป็นเนื้อดีயกันแล้วนำไปรีดเย็นและตัดเป็นแผ่น จากนั้นนำไปทำ solution treatment ที่อุณหภูมิ 1173K เป็นเวลา 3 ชั่วโมงแล้วเย็นตัวในน้ำ

การบ่มแข็งของชิ้นงานมี 2 วิธีได้แก่ การบ่มแข็งในสุญญากาศและในบรรยากาศแก๊สไฮโดรเจนโดยใช้อุณหภูมิ 773K เป็นเวลา 1 ชม. แล้วเย็นตัวในอากาศ



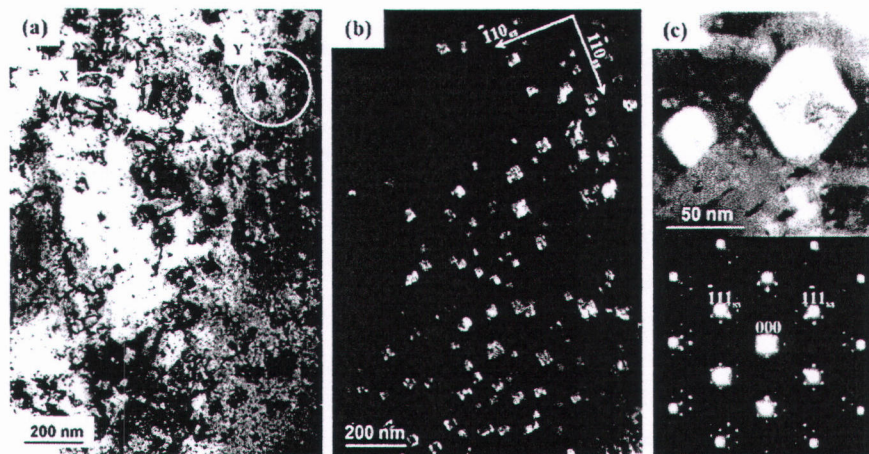
รูปที่ 2.25 รูปถ่ายจากกล้องจุลทรรศน์อิเล็กตรอนแบบส่องผ่านของชิ้นงานที่ผ่านการบ่มแข็งที่อุณหภูมิ 773K เป็นเวลา 1 ชม. ในบรรยากาศไฮโดรเจน (a) A selected area diffraction (SAD), (b) รูปร่างของรูป (a), (c) Bright field image(BF)

รูปถ่ายจากกล้องจุลทรรศน์อิเล็กตรอนแบบส่องผ่านถูกแสดงไว้ในรูปที่ 2.25 รูป (a) แสดงโครงสร้างผลึกของเนื้อพื้นที่เป็นสารละลายของแข็งมีโครงสร้างแบบ fcc ถูกแสดงด้วยวงกลมสีดำในรูป (b) ส่วนวงกลมสีขาวแสดงให้เห็นโครงสร้างของสารประกอบ $\alpha\text{-TiCu}_4$ มีโครงสร้างแบบ body center tetragonal (bct) ส่วนรูป (c) แสดงรูปของสารประกอบ $\alpha\text{-TiCu}_4$ มีรูปร่างแบบเข็มซึ่งแตกผลึกออกมากหลังการบ่มแข็งมีขนาดประมาณ 30-50 nm



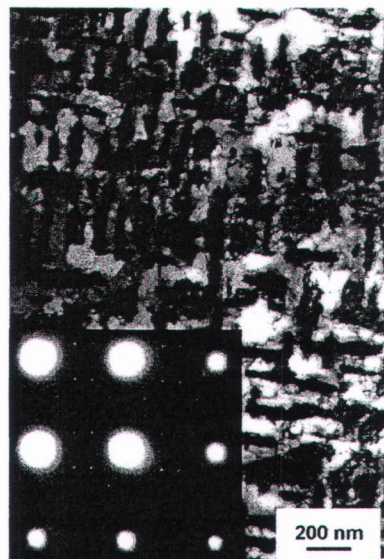
รูปที่ 2.26 รูปถ่ายจากกล้องจุลทรรศน์อิเล็กตรอนแบบส่องผ่านของชิ้นงานที่ผ่านการบ่มแข็งที่ อุณหภูมิ 773K เป็นเวลา 12 ชม. ในบรรยากาศไนโตรเจน (a) Bright field image (BF), (b) รูปขยายของรูป (a) ในบริเวณ I, (c) Dark field image (DF) ถ่ายบริเวณเดียวกับรูป (a)

รูปที่ 2.26 แสดงรูปถ่ายจากกล้องจุลทรรศน์อิเล็กตรอนแบบส่องผ่านของชิ้นงานโลหะผสม Cu-3Ti ที่ผ่านการบ่มแข็งเป็นเวลา 12 ชม. ในรูป (a) แสดงรูป Bright field image (BF) โดยผลึก粗ป์เข้มในรูปคือ $\alpha\text{-TiCu}_4$ มีขนาดประมาณ 60-100 nm ซึ่งมีขนาดใหญ่กว่าชิ้นงานที่ผ่านการบ่มแข็งโดยใช้เวลา 1 ชม. รูป (b) แสดงรูปขยายจากรูป (a) โดยในกรอบสี่เหลี่ยมแสดง Selected area diffraction (SAD) วงกลมสี่ขาวขนาดเล็กซึ่งมีลักษณะกำกับอยู่เกิดจากผลึกของ TiH_2 ที่เกิดขึ้นหลังการบ่มแข็งและมีโครงสร้างแบบ fcc และรูป (c) แสดงรูป Dark field image (DF) ในบริเวณเดียวกันกับรูป (a) โดยจุดสว่างสี่ขาวแสดงผลึกของ TiH_2



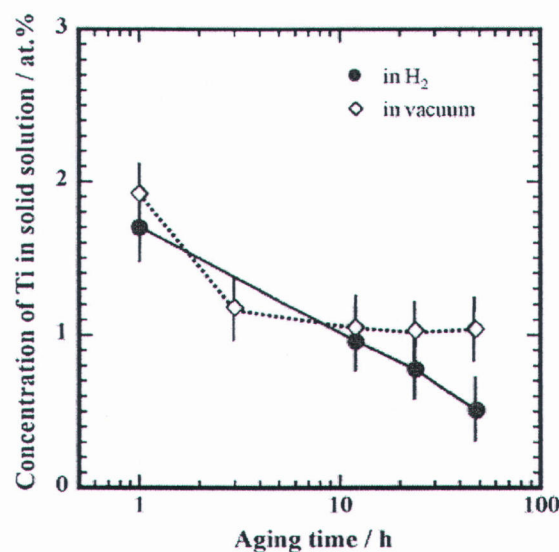
รูปที่ 2.27 รูปถ่ายจากกล้องจุลทรรศน์อิเล็กตรอนแบบส่องผ่านของชิ้นงานที่ผ่านการบ่มแข็งที่อุณหภูมิ 773K เป็นเวลา 48 ชม. ในบรรยากาศไออกไซโดเจน (a) Bright field image (BF), (b)Dark field image(DF)ในบริเวณเดียวกันกับรูป (a) , (c)รูปขยายของรูป (a) และ SAD pattern

รูปที่ 2.27 แสดงรูปถ่ายจากกล้องจุลทรรศน์อิเล็กตรอนแบบส่องผ่านของชิ้นงานโลหะผสม Cu-3Ti ที่ผ่านการบ่มแข็งเป็นเวลา 48 ชม. ในบรรยากาศแก๊สไออกไซโดเจนรูป (a) แสดงรูป Bright field image (BF) ซึ่งในบริเวณ X ผลึกรูปเข็มของ α -TiCu₄ มีขนาดใหญ่กว่า 100 nm ซึ่งตอกว่าผลึกของชิ้นงานที่ผ่านการเผาผนังที่เวลา 12 ชม. และมีปริมาณลดลงมาก ส่วนบริเวณ Y คือผลึกของ TiH₂ มีขนาดประมาณ 30-60 nm ซึ่งมีขนาดโดยขั้นเรื่นกับรูป (b) แสดงรูป Dark field image (DF) ในบริเวณเดียวกับ (a) แสดงรูปผลึกของ TiH₂ ซึ่งมีปริมาณเพิ่มขึ้นมากเมื่อเทียบกับชิ้นงานที่ผ่านการเผาผนังที่เวลา 12 ชม. รูป (c) แสดงรูปขยายของรูป (a) และให้เห็นรูปร่างผลึกของ TiH₂



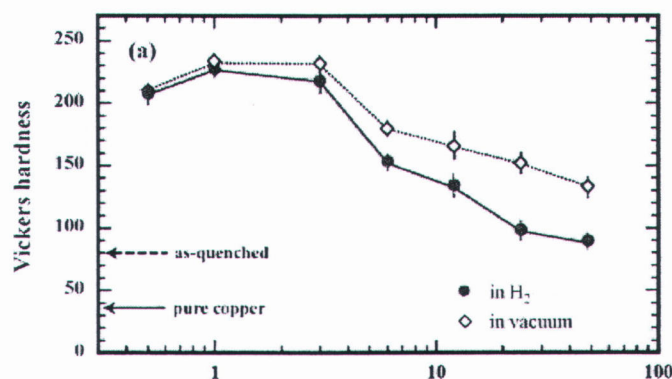
รูปที่ 2.28 รูปถ่ายจากกล้องจุลทรรศน์อิเล็กตรอนแบบส่องผ่านของชิ้นงานที่ผ่านการบ่มแข็งที่อุณหภูมิ 773K เป็นเวลา 48 ชม. ในสุญญากาศ

รูปที่ 2.28 แสดงรูปถ่ายจากกล้องจุลทรรศน์อิเล็กตรอนแบบส่องผ่านของชิ้นงานโลหะผสม Cu-3Ti ที่ผ่านการบ่มแข็งเป็นเวลา 48 ชม. ในสุญญากาศพบว่าผลลัพธ์รูปเข็มของ $\alpha\text{-TiCu}_4$ มีขนาดประมาณ 200-500 nm มีปริมาณมากกว่าชิ้นงานที่บ่มแข็งในสุญญากาศเนื่องจากไหเทเนียมไม่ต้องทำปฏิกิริยากับไออกไซด์เรน



รูปที่ 2.29 ปริมาณไหเทเนียมบนเนื้อพื้นโลหะผสม Cu-3Ti ผ่านการบ่มแข็งที่อุณหภูมิ 773K ในเวลาต่างๆ ในบรรยากาศแก๊สไออกไซด์เรนและสุญญากาศ

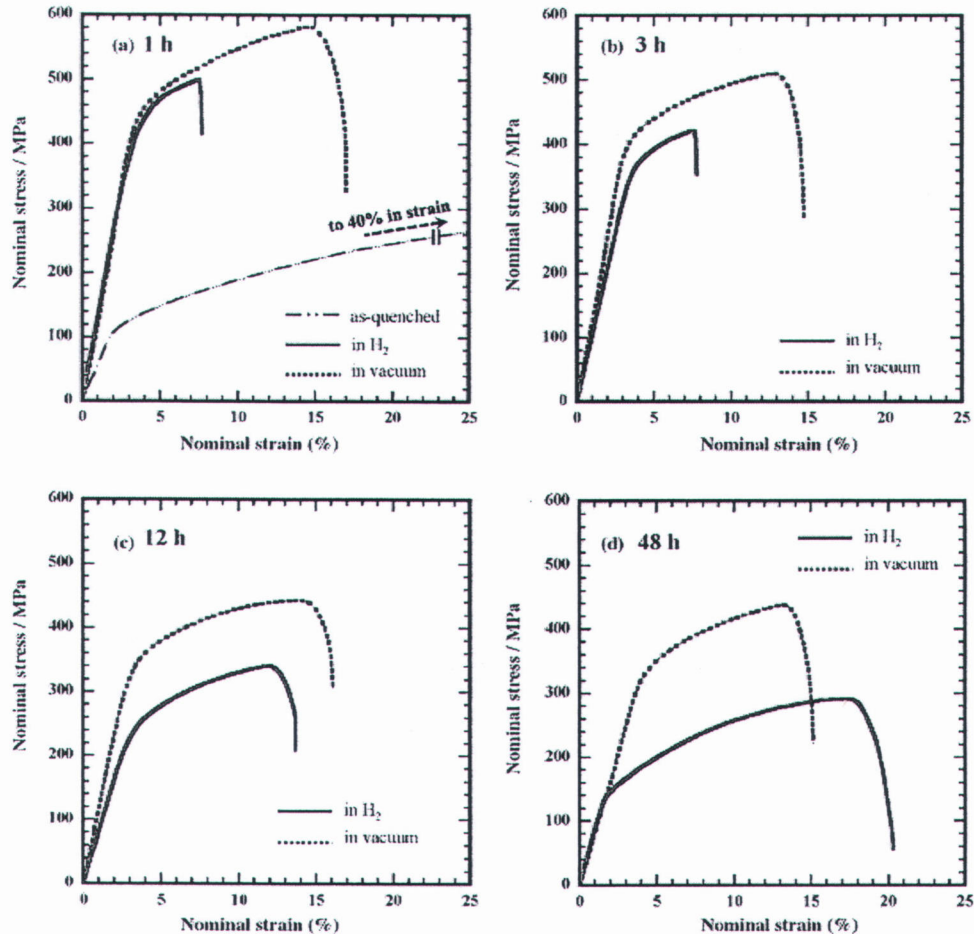
รูปที่ 2.29 แสดงปริมาณไทเทเนียมบนเนื้อพื้นโลหะผสมหลังผ่านการบ่มแข็งเป็นเวลา 48 ชม. ที่อุณหภูมิ 773K ซึ่งงานที่บ่มแข็งในบรรยายกาศแก๊สไฮโดรเจนปริมาณไทเทเนียมบนเนื้อพื้นจะลดลงมากกว่าเมื่อเทียบกับการบ่มแข็งในสุญญากาศเนื่องจากไทเทเนียมทำปฏิกิริยา กับไฮโดรเจนเกิดเป็นสารประกอบ TiH_2 โดยหลังบ่มแข็งเป็นเวลา 48 ชม. พบร่วมปริมาณ ไทเทเนียมบนเนื้อพื้นเหลือเพียง 0.2-0.5% ซึ่งน้อยกว่าปริมาณที่สามารถละลายได้ในทองแดง ที่อุณหภูมิ 773K ที่ 0.8%



รูปที่ 2.30 ความแข็งของโลหะผสม Cu-3Ti ที่ผ่านการบ่มแข็งที่อุณหภูมิ 773K เป็นเวลา 48 ชม. ในบรรยายกาศแก๊สไฮโดรเจนและสุญญากาศ

รูปที่ 2.30 แสดงค่าความแข็งของโลหะผสม Cu-3Ti ซึ่งบ่มแข็งในบรรยายกาศแก๊สไฮโดรเจนและสุญญากาศพบว่าได้ค่าความแข็งสูงสุดหลังบ่มแข็งในทั้งสองบรรยายกาศเมื่อเวลาผ่านไป 1 ชม. และค่าความแข็งเพิ่มขึ้นสูงมากเมื่อเทียบกับความแข็งหลังทำ Solution treatment ซึ่งอยู่ที่ 80 HV

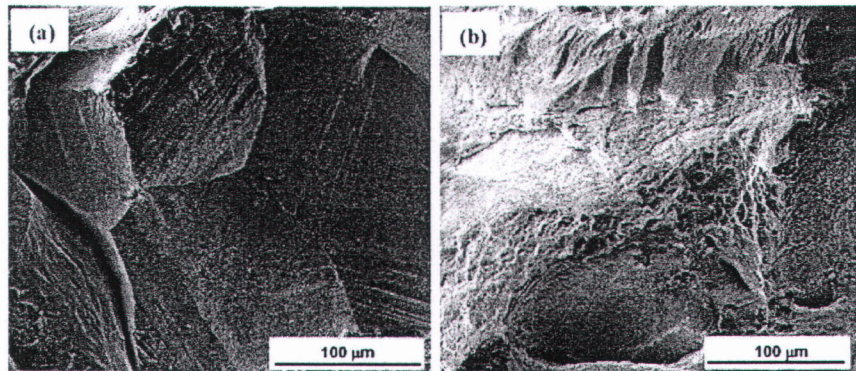
ค่าความแข็งของโลหะผสมที่บ่มแข็งในสุญญากาศมีค่ามากกว่าบ่มแข็งในบรรยายกาศไฮโดรเจนแสดงให้เห็นว่าอนุภาคของ TiH_2 ไม่ได้ส่งผลต่อการเพิ่มของความแข็ง ความแข็งที่เพิ่มขึ้นเกิดจากการตกผลึกของ $\alpha-TiCu_4$ ค่าความแข็งลดลงเมื่อบ่มแข็งเป็นเวลานานเนื่องจาก การโตเข็งของผลึก $\alpha-TiCu_4$ ทำให้แรงยึดเหนี่ยวกับเนื้อพื้นลดลงและการลดลงของปริมาณผลึก



รูปที่ 2.31 เส้นโค้งความเด่น-ความเครียดของโลหะผสม Cu-3Ti ผ่านการบ่มแข็งที่อุณหภูมิ 773K ในบรรยากาศแก๊สไฮโดรเจนหรือสูญญากาศที่เวลาต่างกัน (a) 1 ชม. (b) 3 ชม. (c) 12 ชม. (d) 48 ชม.

รูปที่ 2.31 แสดงเส้นโค้งความเด่น-ความเครียด ของโลหะผสมที่ผ่านการบ่มแข็งที่เวลา ต่างๆ กัน ในรูป (a) ค่าความเด่นที่จุดครากและความเด่นแรงดึงของโลหะผสมหลังผ่านการ Solution treatment อยู่ที่ 110 และ 290 MPa และสามารถยึดตัวได้ 40% ก่อนเกิดการแตกหัก สำหรับโลหะผสมที่ผ่านการบ่มแข็งในบรรยากาศแก๊สไฮโดรเจนและสูญญากาศเป็นเวลา 1 ชม. พบร่วมกันที่ความเด่นที่จุดครากมีค่าใกล้เคียงกันคือ 420 MPa อย่างไรก็ตามโลหะผสมที่ผ่านการบ่มแข็งในบรรยากาศแก๊สไฮโดรเจนจะสามารถยึดตัวได้ 8% และไม่เกิดคอคอด ก่อนเกิดการแตกหัก

การเพิ่มเวลาในการบ่มแข็งทำให้ค่าความเด่นที่จุดครากและความเด่นแรงดึงลดลงอย่างรวดเร็ว ในรูป (c) พบร่วมกันที่ความเด่นที่จุดครากเป็นเวลา 12 ชม. ในบรรยากาศแก๊สไฮโดรเจนเกิดคอคอดก่อนแตกหักและพบร่วมกันที่ความเด่นเพิ่มขึ้นเมื่อบ่มแข็งที่ 48 ชม.



รูปที่ 2.32 พื้นผิวอย่างแตกของโลหะผสมที่ผ่านการบ่มแข็งในบรรยากาศแก๊สไฮโดรเจนกล้องจุลทรรศน์อิเล็กตรอนแบบส่องกราด (a) 1 ชม. (b) 2 ชม.

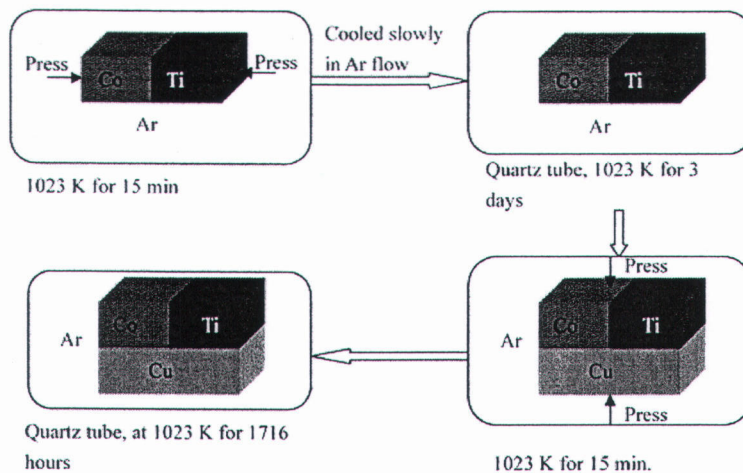
รูปที่ 2.32 แสดงรูปพื้นผิวอย่างแตกของโลหะผสมที่ผ่านการบ่มแข็งในบรรยากาศแก๊สไฮโดรเจนหลังผ่านการทดสอบแรงดึงในรูป (a) และแสดงลักษณะการแตกแบบเปราะเมื่อบ่มแข็ง 1 ชม. และรูป (b) และแสดงลักษณะการแตกแบบเนียนเมื่อบ่มแข็ง 48 ชม. ซึ่งสอดคล้องกับเส้นโค้งความเดิน-ความเครียดในรูป 2.30

2.2.5 “The isothermal section of the Co–Cu–Ti ternary system at 1023K by using diffusion triple technique”[13]

Y.M. Wang, H.S. Liu*, L.G. Zhang, F. Zheng, Z.P. Jin

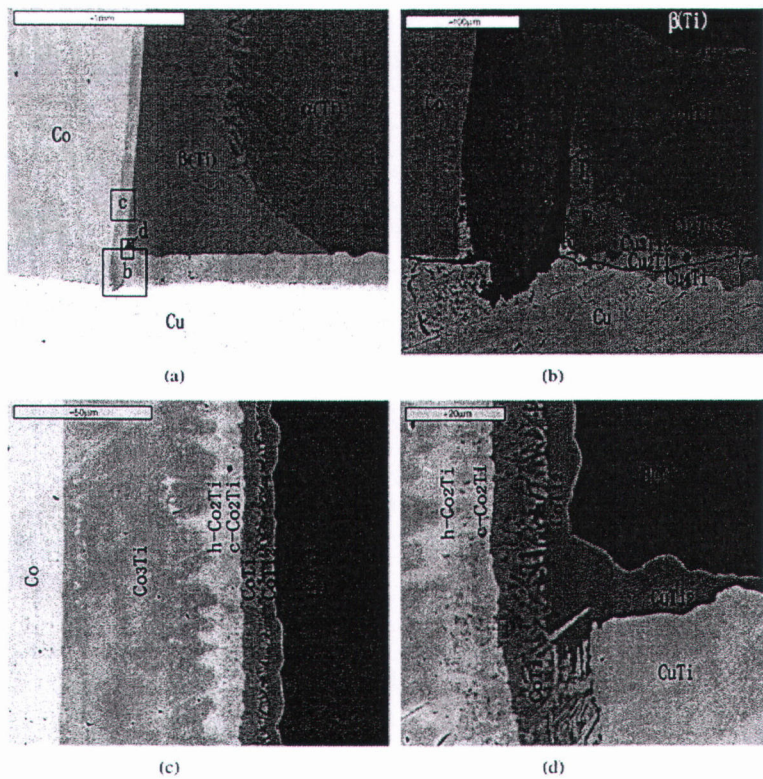
คณวิจัยมีความสนใจที่จะศึกษาการแพร่ระห่วงธาตุทั้งสามได้แก่ Ti, Co และ Cu ที่อบอ่อนที่อุณหภูมิ 1023K หลังจากนั้นจะถูกนำมาวิเคราะห์โดยใช้ Scanning electron microscope (SEM) และ Electron probe microanalysis (EPMA)

ขั้นตอนทดลองถูกเตรียมโดยการนำแท่งทองแดง โคลบล็อกและไทเกเนียมความบริสุทธิ์ 99.97, 99.9, 99.5% ตามลำดับมาเข้ามติดกันโดยเริ่มจากนำไทเกเนียมมาเข้ามติดกับโคลบล็อกที่อุณหภูมิ 1023K เป็นเวลา 15 นาทีในบรรยากาศอิรักอนแล้วปล่อยให้เย็นตัวอย่างช้าๆ จากนั้นนำไปบรรจุในหลอดแก้วพอท์แล้วอบอ่อนที่อุณหภูมิ 1023K เป็นเวลา 3 วัน จากนั้นเย็นตัวในอากาศ ขั้นงานที่ได้จะถูกนำมาเข้ามติดกับทองแดงที่ 1023K เป็นเวลา 15 นาทีจากนั้นนำมารอบอ่อนเป็นเวลา 1716 ชม. และนำมายืนตัวในน้ำ ซึ่งวิธีการทั้งหมดแสดงให้เห็นในรูปที่ 2.33



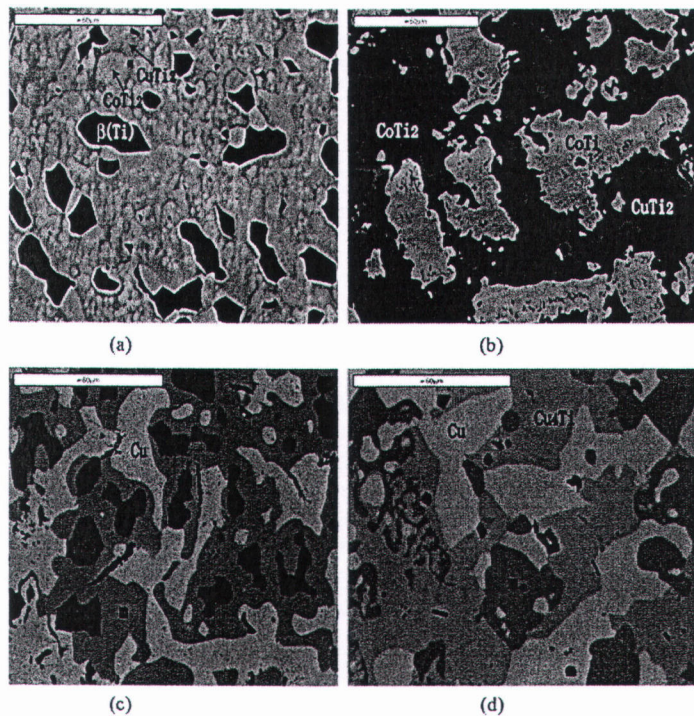
รูปที่ 2.33 วิธีการเตรียมชิ้นงานซึ่งใช้ในการทดลอง

รูปจาก SEM โดยใช้ Backscattered electron (BSE) แสดงไว้ในรูปที่ 2.34 ซึ่งจากรูป 2.34b พบว่าสารประกอบที่เกิดขึ้นระหว่างไทเทเนียมและทองแดงมี 6 แบบ ได้แก่ Ti_2Cu , $TiCu$, Ti_3Cu_4 , Ti_2Cu_3 , $TiCu_2$ และ $TiCu_4$ และรูป 2.34c แสดงสารประกอบระหว่างไทเทเนียม และโคบล็อกมี 5 แบบ ได้แก่ $TiCo_3$, h- $TiCo_2$, c- $TiCo_2$, $TiCo$ และ Ti_2Co



รูปที่ 2.34 รูปถ่ายจาก SEM โดยใช้ Backscattered electron (BSE) (a) รูปกำลังขยายต่ำแสดงให้เห็นการแพร่ระหัสของธาตุทั้งสาม, (b)-(d) รูปขยายจากบริเวณต่างๆ ในรูป (a)

รูปที่ 2.35 และตารางที่ 2.5 แสดงรูปโครงสร้างจุลภาคที่ถ่ายจาก SEM ของโลหะผสมที่ผ่านการอบอ่อนที่อุณหภูมิ 1023K เป็นเวลา 2206 ชม. และส่วนผสมของเฟสต่างๆ ที่ปรากฏในรูปโครงสร้างจุลภาคตามลำดับ

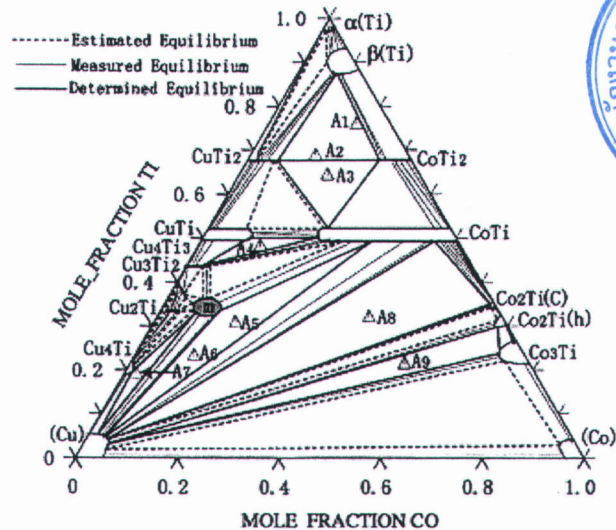


รูปที่ 2.35 รูปถ่ายจาก SEM โดยใช้ Backscattered electron (BSE) ของโลหะผสมที่ผ่านการอบอุ่นที่ 1023K เป็นเวลา 2206 ชม. (a) 13Co-18Cu-69Ti (A_2), (b) 17Co-19Cu-64Ti (A_3), (c) 16Co-53Cu-31Ti (A_5) โดยเฟส m คือ $Co_{10}Cu_{57}Ti_{33}$ (d) 5Co-76Cu-19Ti (A_7)

ตารางที่ 2.5 ส่วนผสมของเฟสต่างๆ ที่ผ่านการอบอุ่นที่ 1023K เป็นเวลา 2206 ชม.

Sign	Compositions (at. %)	Constituent phases
A_1	18Co-6Cu-76Ti	β -Ti - $CoTi_2$ - $CuTi_2$
A_2	13Co-18Cu-69Ti	β -Ti - $CoTi_2$ - $CuTi_2$
A_3	17Co-19Cu-64Ti	$CoTi_2$ - $CuTi_2$ - $CoTi$
A_4	13Co-40Cu-47Ti	$CoTi$ - $CuTi$ - Cu_4Ti_3
A_5	16Co-53Cu-31Ti	$CoTi$ - (Cu) + m
A_6	12Co-65Cu-23Ti	$CoTi$ - (Cu) + m
A_7	5Co-76Cu-19Ti	Cu_4Ti - (Cu) - m
A_8	42Co-26Cu-32Ti	$CoTi$ - c- Co_2Ti - (Cu)
A_9	54Co-26Cu-21Ti	b- Co_2Ti - (Cu) + Co_3Ti

เมื่อนำข้อมูลต่างๆ มาประกอบกันจะสามารถทำให้สร้างแผนภูมิสมดุลสามเฟส (Ternary phase diagram) ที่อุณหภูมิ 1023K ได้โดยแสดงไว้ในรูปที่ 2.36



รูปที่ 2.36 แผนภูมิสมดุลสามเฟสของ Ti-Co-Cu ที่ผ่านการอบอ่อนที่อุณหภูมิ 1023K

รูปที่ 2.36 แสดงแผนภูมิสมดุลสามเฟสของ Ti-Co-Cu ที่อุณหภูมิ 1023K โดยเส้นบางแสดงเส้นสมดุลระหว่างสองเฟสและเส้นหนาแสดงเส้นสมดุลระหว่างเฟสทั้งสามซึ่งประกอบกันเป็นรูปสามเหลี่ยมส่วนเส้นประเป็นเส้นที่ได้จากการคาดการณ์

เป็นที่น่าสังเกตว่าในหะผสมผ่านการอบอ่อนที่อุณหภูมิ 1023K ยังพบสารประกอบ $TiCu_2$ ซึ่งน่าจะถลายตัวไปเป็น Ti_2Cu_3 และ $TiCu_4$ ที่อุณหภูมิ 1143K เมื่อคุณภาพแผนภูมิสมดุลเฟสระหว่างไทเทเนียมและทองแดง

เส้นแบ่งเฟสระหว่าง Ti_2Cu และ Ti_2Co ในรูปที่ 2.34 พบร้าไม่ชัดเจนแต่สามารถหาเส้นแบ่งนี้ได้โดยวัดส่วนผสมที่เปลี่ยนไปโดยใช้ EPMA และเฟส m หรือ $Co_{10}Cu_{57}Ti_{33}$ ซึ่งพบรในงานวิจัยก่อนหน้านี้เช่นกัน พบร้าสามารถอยู่ในสมดุลร่วมกับ Ti_3Cu_4 , Ti_2Cu_3 , $TiCu_2$, $TiCu_4$, Cu และ $CoTi$ ได้

จากการวิจัยพบว่าทองแดงสามารถเข้าไปแทนที่โคบล็อกที่ได้ใน $TiCo$ และ Ti_2Co และโคบล็อกที่สามารถแทนที่ทองแดงได้ใน $TiCu$, Ti_2Cu และ Ti_3Cu_4 และโคบล็อกที่สามารถแทนที่ไทเทเนียมได้ใน Ti_2Cu_3